



รายงานวิจัยฉบับสมบูรณ์

สัมประสิทธิ์การพากความร้อนแบบธรรมชาติของปลาช่อน

Natural Convective Heat Transfer Coefficient of striped

snake-head fish (*Channa striata*)

โดย

อามีเนา สาลึง

แวงอมละห์ แวนดอลาย

ได้รับทุนอุดหนุนจากงบประมาณนำร่องการศึกษาประจำปี 2555

มหาวิทยาลัยราชภัฏยะลา

ชื่อเรื่อง สัมประสิทธิ์การพารากามร้อนแบบธรรมชาติของปลาช่อน

ผู้ศึกษา นางสาวอามีนาะ สาเล็ง

นางสาวแพรอมละห์ แวนดาล

ปีการศึกษา 2554

บทคัดย่อ

การลดความชื้นวัสดุอาหารมีปัจจัยที่สำคัญได้แก่ สัมประสิทธิ์การพารากามร้อนแบบธรรมชาติที่ขึ้นอยู่กับอุณหภูมิ ความเร็วลม และความชื้นสัมพัทธ์ของอากาศ ดังนั้นงานวิจัยนี้จึงศึกษาหาค่าสัมประสิทธิ์การพารากามร้อนที่เกิดขึ้นในการลดความชื้นปลาช่อนแบบธรรมชาติด้วยแสงอาทิตย์ โดยใช้ทฤษฎีการถ่ายโอนความร้อนแบบธรรมชาติในรูปความสัมพันธ์ของพารามิเตอร์ไว มิติ จากผลการทดลองพบว่า ค่าสัมประสิทธิ์การพารากามร้อนแบบธรรมชาติของปลาช่อนที่ตากแห้งแบบเปาลมที่ความเร็ว 2.7, 3.0 และ 3.5 m/s มีค่าสัมประสิทธิ์การพารากามร้อนแบบธรรมชาติเท่ากับ $10.07, 14.84$ และ $15.81 \text{ W/m}^2 - {}^\circ\text{C}$ ตามลำดับ โดยค่าสัมประสิทธิ์การพารากามร้อนแบบธรรมชาติจะสูงควบคุมโดยสภาวะในการตากแห้งได้แก่ ลม พลังงานความร้อนจากแสงอาทิตย์ และเวลาที่ใช้ในการตากแห้ง

คำสำคัญ : ปลาช่อน สัมประสิทธิ์การพารากามร้อน พลังงานแสงอาทิตย์

Title Natural Convective Heat Transfer Coefficient of striped snake-head fish
(Channa striata)

Author Miss Ameenoh Saleng
Miss Waeromlah Waedoloh

Academic Year 2011

Abstract

The drying of food material, there are factors of the natural convective heat transfer coefficient that depend on temperature, wind speed and relative humidity of the air. So this research work, an attempt has been made to evaluate the convective heat transfer coefficient during drying of striped snake-head fish (*Channa striata*) in open sun drying conditions. The theory of heat transfer is in the relationship of the dimensionless parameter. The results showed that the natural convective heat transfer coefficient of striped snake-head fish (*Channa striata*) in ambient air velocity of 2.7, 3.0 and 3.5 m/s are 10.07, 14.84 and 15.81 $\text{W}/\text{m}^2 \cdot ^\circ\text{C}$ respectively. The natural convective heat transfer coefficient are controlled by wind condition, solar energy and duration of drying.

Keyword : *Channa striata*, Convective heat transfer coefficient, Solar energy

กิตติกรรมประกาศ

การวิจัยนี้สำเร็จลุล่วงได้ด้วยความกรุณาและความช่วยเหลือเป็นอย่างดียิ่งจากอาจารย์ อธีร์ หะชี สันโช อาจารย์อาบีดีน ตะแซสามา และอาจารย์ดาวิกา ชาเออา ที่ได้สละเวลาและให้กำปรึกษา ช่วยเหลือสนับสนุนในทุกๆ เรื่องในการทำวิจัยครั้งนี้

ขอขอบคุณสถาบันวิจัยและพัฒนาชายแดนภาคใต้ มหาวิทยาลัยราชภัฏยะลา ที่ให้การช่วยเหลือสนับสนุนในเรื่องของทุนตลอดจนเพื่อนๆ ที่ช่วยเหลือและเป็นกำลังใจในการวิจัยครั้งนี้ สำเร็จลุล่วงด้วยดี

ขอขอบคุณ นายอูฐ เชิง ชายดานา นักวิทยาศาสตร์สาขาวิศวกรรมศาสตร์ ที่อำนวยความสะดวกในการใช้เครื่องมือและใช้อุปกรณ์ที่สำหรับทำการทดลอง

อามีเนาะ สาเล้ง^๑
คุณภาพันธ์ ๒๕๕๖



สารบัญ

	หน้า
บทคัดย่อภาษาไทย	(1)
บทคัดย่อภาษาอังกฤษ	(2)
กิตติกรรมประกาศ	(3)
สารบัญ	(4)
สารบัญภาพ	(5)
บทที่ 1 บทนำ	1
1.1 ความสำคัญและที่มาของปัญหา	1
1.2 วัตถุประสงค์	1
1.3 ขอบเขตการศึกษา	2
1.4 ประโยชน์ที่คาดว่าจะได้รับ	2
1.5 นิยามพัฒนา	2
บทที่ 2 เอกสารและงานวิจัยที่เกี่ยวข้อง	3
2.1 เอกสารที่เกี่ยวข้อง	3
2.2 งานวิจัยที่เกี่ยวข้อง	12
บทที่ 3 วิธีดำเนินการวิจัย	15
3.1 วัสดุและอุปกรณ์	15
3.2 ขั้นตอนการทดลอง	16
3.3 การวิเคราะห์ข้อมูล	21
บทที่ 4 ผลการวิจัย	22
บทที่ 5 สรุปผล อภิปราย และข้อเสนอแนะ	27
5.1 สรุปผลการทดลอง	27
5.2 อภิปรายผล	27
5.3 ข้อเสนอแนะ	27
บรรณานุกรม	28
ภาคผนวก	30
ภาคผนวก ก	31
ภาคผนวก ข	36
ภาคผนวก ค	41

สารบัญภาพ

ภาพที่	หน้า
ภาพที่ 3.1 ขนาดของปลาช่อนที่ทดลอง $4.5 \text{ cm} \times 7 \text{ cm}$	14
ภาพที่ 3.2 การซั่งน้ำหนักของปลาช่อนและตะแกรงรองก่อนตากแห้งด้วยพลังงานความร้อนจากแสงอาทิตย์	15
ภาพที่ 3.3 การตากแห้งปลาช่อนบนตะแกรงที่แยกต่างกัน	15
ภาพที่ 3.4 การวัดระยะห่างระหว่างพัดลมกับขอบของปลาช่อน	16
ภาพที่ 3.5 การวัดอุณหภูมิบนผิวสดุ ได้ผิวสดุและในผิวสดุ	16
ภาพที่ 3.6 การซั่งน้ำหนักของปลาช่อน	17
ภาพที่ 3.7 การอบปลาช่อนหลังตากแดดครบ 3 h	17
ภาพที่ 4.1 การเปลี่ยนแปลงปริมาณน้ำในปลาช่อนระหว่างการตากแห้งแบบธรรมชาติ (ตากแห้งแบบอิสระ)	19
ภาพที่ 4.2 การเปลี่ยนแปลงปริมาณน้ำในปลาช่อนระหว่างการตากแห้งแบบธรรมชาติ (ตากแห้งแบบกั้นลม)	20
ภาพที่ 4.3 การเปลี่ยนแปลงปริมาณน้ำในปลาช่อนระหว่างการตากแห้งแบบธรรมชาติ (ตากแห้งแบบเป่าลมที่ความเร็วลม $3.5, 3.0$ และ 2.7 m/s ตามลำดับ)	21
ภาพที่ 4.4 เปรียบเทียบค่าสัมประสิทธิ์การพาราความร้อนแบบธรรมชาติของปลาช่อน	22

บทที่ 1

บทนำ

1.1 ความสำคัญและที่มาของปัจจุบัน

คนอินเดียนแดงใช้การตากแห้งอาหารก่อนที่จะถูกรุกราน ส่วนในทวีปเอเชียภาคภูหลักฐานการทำนมผง (Dried milk) มา กว่า 700 ปีแล้ว ซึ่งนิโคลาส์ แซร์แวน ชาวฟรังเศส ได้บันทึกเกี่ยวกับอาหารการกินของคนไทยในอดีตไว้ว่า คนไทยไม่นิยมกินปลาสดจะแปรรูปปลาให้เปลี่ยนสภาพเพื่อเก็บไว้ได้นาน (สุดจิตร์ เกษมชาลย, 2553 : เวปไซต์) และป่านี้จัดที่คณไทยนิยมบริโภคติด 1 ใน 5 อันดับคือ ปลาช่อน (เทพรัตน์ อังศุเรณรพน์, 2552 : เวปไซต์) ซึ่งเป็นปลาเศรษฐกิจหาง่ายในท้องถิ่นที่นิยมนำมาตากแห้ง (ชาลิต วิทยานันท์, 2544 : เวปไซต์) เพื่อเก็บรักษาอาหารสดไว้บริโภคโดยไม่เสียคุณค่าทางอาหาร และช่วยยับยั้งการเจริญเติบโตของเชื้อรุ่นทรีอันเป็นสาเหตุของการเน่าเสียได้ (ศรีสมร คงพันธุ์ และคณะ, 2537:8) โดยอาศัยความร้อนจากแสงอาทิตย์หรือใช้ความร้อนจากแหล่งอื่น เพื่อให้ความชื้นที่อยู่ในอาหารลดลงให้ได้มากที่สุดโดยไม่ส่งสารอื่นลงไป ปัจจัยการตากแห้งขึ้นอยู่กับอุณหภูมิ ความเร็วลม ความชื้นสัมพัทธ์ของอากาศและเวลาในการตากแห้ง ซึ่งมีผลต่อการคำนวณหาค่าสัมประสิทธิ์การพาราความร้อนแบบธรรมชาติ

ดังนั้นผู้วิจัยจึงได้ศึกษาหาค่าสัมประสิทธิ์การพาราความร้อนแบบธรรมชาติของปลาช่อน และเปรียบเทียบค่าสัมประสิทธิ์การพาราความร้อนแบบธรรมชาติในรูปแบบการตากแห้งที่แตกต่างกันระหว่างการตากแห้งแบบอิสระ การตากแห้งแบบกั้นลม และการตากแห้งแบบเป่าลม เพื่อเป็นแนวทางสำหรับการลดความชื้นปลาช่อนแบบธรรมชาติให้แก่ชุมชน

1.2 วัตถุประสงค์

- เพื่อหาค่าสัมประสิทธิ์การพาราความร้อนแบบธรรมชาติของการลดความชื้นปลาช่อน
- เพื่อเปรียบเทียบค่าสัมประสิทธิ์การพาราความร้อนแบบธรรมชาติของการลดความชื้นปลาช่อนในรูปแบบการตากที่แตกต่างกัน

1.3 ขอบเขตการศึกษา

การวิจัยในครั้งนี้เป็นการหาค่าสัมประสิทธิ์การพากความร้อนแบบธรรมชาติของปลาช่อน

1. ประชากรและกลุ่มตัวอย่าง

ประชากร : ปลา

กลุ่มตัวอย่าง : ปลาช่อน

2. ตัวแปรในการศึกษา

ตัวแปรดั้ง : ปริมาณน้ำในปลาช่อน

ตัวแปรตาม : ค่าสัมประสิทธิ์การพากความร้อนแบบธรรมชาติของปลาช่อน

ตัวแปรควบคุม : พื้นที่ปลาช่อน ขนาดตะแกรง ขนาดของชิ้นปลาช่อน
ความเร็วลม

1.4 ประโยชน์ที่คาดว่าจะได้รับ

1. ได้ทราบค่าสัมประสิทธิ์การพากความร้อนแบบธรรมชาติของการลดความชื้นปลาช่อน
2. ได้ทราบค่าความแตกต่างของค่าสัมประสิทธิ์การพากความร้อนแบบธรรมชาติของการลดความชื้นปลาช่อน

1.5 นิยามศัพท์เฉพาะ

1. ความชื้น กือ ปริมาณน้ำที่อยู่ในปลาช่อน
2. การพากความร้อน กือ การถ่ายโอนความร้อนจากที่มีอุณหภูมิสูง (อากาศ) ไปที่มีอุณหภูมิต่ำ (ปลาช่อน)
3. ปลาช่อน กือ ปลาช่อนนา พื้นที่ปลาช่อนคำ จำกัดตามเมืองใหม่ อ.เมือง จ.ยะลา
4. แบบอิสระ กือ ตะแกรงขนาด $28 \times 28 \text{ cm}^2$ เป็นแบบทั่วไปที่ไม่มีอะไรมากักกัน
5. แบบกักลม กือ ตะแกรงขนาด $28 \times 28 \text{ cm}^2$ ที่ปิดกันทั้ง 4 ด้าน
6. แบบเป่าลม กือ ตะแกรงขนาด $28 \times 28 \text{ cm}^2$ ที่ปิดกัน 2 ด้าน โดยเป่าลมพัดผ่าน

บทที่ 2

เอกสารและงานวิจัยที่เกี่ยวข้อง

2.1 เอกสารที่เกี่ยวข้อง

2.1.1 ปลาช่อน

ปลาช่อนเป็นปลา�้าจีดพื้นเมืองของไทย พนอาศัยทั่วไปตามแหล่งน้ำทั่วทุกภาคของไทย อาศัยอยู่ในแม่น้ำ ลำคลอง ทะเลสาบ อ่างเก็บน้ำ หนองและบึง ปลาช่อนเป็นปลา�้าจีดที่มีมาหลายร้อยพันปีแล้ว นอกจากจะพบในประเทศไทยยังมีแพร่หลายในประเทศจีน อินเดีย ศรีลังกา อินโด네เซีย และฟิลิปปินส์ ปลาช่อนมีชื่อสามัญว่า Striped Snake-Head Fish และมีชื่อวิทยาศาสตร์ว่า *Channa striatus* ในบ้านเรานอกจากจะเรียกันว่า ปลาช่อน บางท้องถิ่น เช่น ภาคเหนือและอีสานเรียกปลาชนิดนี้ว่า ปลาค้อ (พัฒน์ พิชาน, 2548:69)

รูปร่างลักษณะของปลาช่อนมีลำตัวกลมยาว ส่วนห้องแบน ความยาวของลำตัวเป็น 5-6 เท่าของความสูง ส่วนหัวแบนลง ขอบส่วนหลังค่อนข้างโค้งคล้ายู ปากกว้าง มุมปากลึกและยื่นเล็กๆ มาก ขากรรไกรยื่ดหดได้ พื้นที่ขากรรไกรบนและล่างเล็กมาก ติดกันเป็นแผ่นและแหลมคม มีพื้นที่เพดานส่วนหน้าและเพดานส่วนใน ตาโต ส่วนบนและข้างของหัวมีเกล็ดปกคลุม มีเกล็ดตามแนวเส้นข้างตัว 50-58 เกล็ด เส้นข้างตัวสมบูรณ์ ปลายสุดของเส้นข้างตัวที่อยู่ตรงหน้าออกตัวลงมา 2 แฉะ ตรงบริเวณเกล็ดข้างตัวที่ 16 หรือ 17 ถึงเกล็ดที่ 19 หรือ 20 ส่วนหลังมีสีเขียวอ่อนหรือสีน้ำตาลอ่อนจนเกือบดำ ส่วนห้องมีสีเขียว สีครีม หรือสีน้ำตาล ส่วนบนของลำตัวเป็นริ้วๆ และแต้มสีคล้ำๆ อยู่เนียงกับลำตัว ส่วนล่างของลำตัวก้มมีแต้มสีเข่นเดียวกันอยู่เป็นมุมๆ กับริ้วและแต้มข้างบน

ในช่วงฤดูฝนปลาช่อนชอบไปหาอาหารและวางไข่ตามทุ่งนา หากินตั้งแต่พื้นดินจนถึงผิวน้ำ ชอบบริเวณที่มีระดับน้ำลึกไม่เกิน 1 เมตร มีพันธุ์ไม่น้ำขึ้นประจำ ชอบขึ้นมาที่ผิวน้ำบ่อยๆ เพื่อหายใจ เป็นปลาที่มีกระเพาะลมใหญ่และวิวัฒนาการดี ปลาที่มีขนาดโตเต็มวัยจะมีการอพยพขยับถิ่นเพื่อหลีกเลี่ยงการอุ่นร้อนอย่างหนาแน่น และหากแหล่งอาหารที่สมบูรณ์ มีนิสัยหากินเวลากลางคืน ลูกปลาขนาดเล็กกินพวงสาหร่ายและสัตว์เซลล์เดียวเป็นอาหาร ลูกปลาที่โตขึ้นกินพวงกุ้ง (Crustacean) เล็กๆ และพวงพืชข้างเล็กๆ น้อยๆ ส่วนปลาใหญ่จัดเป็นประเภทปลากินเนื้อ

(Carnivorous) อย่างแท้จริง กินสิ่งมีชีวิตที่อาศัยอยู่ในน้ำ เช่น ปลาขนาดเล็ก กุ้งฟอย ไส้เดือน กบ ฯ แมลง ในน้ำชนิดต่างๆ เป็นต้น

ความแตกต่างระหว่างเพศของปลาสั้งเกตได้คือ ปลาตัวเมียส่วนท้องอุ้มเป่งมากกว่าปลาตัวผู้และมีลำตัวสั้นกว่า ส่วนหัวแคน เส้นผ่านศูนย์กลางของลำตัวเกือบสม่ำเสมอตัดออกตามแนวยาว ส่วนของโคนหางแคน ปราดเบรียว ปลาตัวผู้ส่วนหัวกว้างเส้นผ่านศูนย์กลางของลำตัวเกือบสม่ำเสมอตัดออกตามแนวยาว ส่วนของโคนหางแคน ปราดเบรียว ปลาตัวผู้ส่วนหัวกว้างเส้นผ่านศูนย์กลางของลำตัวค่อนข้างเล็กลง ไปทางหาง ส่วนของโคนหางกว้างกว่าน้ำเชื่องช้า ปลาตัวเมียจะมีน้ำหนักมากกว่าปลาตัวผู้เมื่อมีขนาดความยาวมาตรฐานเท่ากัน สามารถวางไข่ได้มีเม็ดขนาดความยาวตั้งแต่ 20 cm และมีอายุตั้งแต่ 1 ปีขึ้นไป ในฤดูผสมพันธุ์วางไข่ปลาตัวผู้จะมีสีเข้มกว่าปลาตัวเมีย เริ่มวางไข่ตั้งแต่เดือนกรกฎาคมถึงเดือนตุลาคม พนไข่มากที่สุดในเดือนกรกฎาคม ถึงเดือนตุลาคม ขอบสร้างรังวางไข่ตามแหล่งน้ำที่เงียบสงบ ความลึกของน้ำประมาณ 0.3-1 m มีรัชพืชน้ำ โดยปลาตัวผู้เป็นผู้สร้างรังวางไข่ ปลาจะกัดรัชพืชน้ำและใช้หางใบกพัดตลอดเวลาเพื่อทำให้เกิดพื้นที่รูปวงกลมเส้นผ่านศูนย์กลางประมาณ 0.3 m และกัดรัชพืชน้ำบริเวณกลางๆ ของรังออก หากถูกรบกวนจะขยับที่สร้างรังใหม่ เมื่อสร้างรังได้ตามขนาดที่ต้องการแล้ว พ่อแม่ปลาจะรัดพันซักพักหนึ่ง แล้วก่ออย่างมลง 2-3 mm ไข่จะลอยขึ้นระหว่างเศษหญ้าที่ลอยอยู่ ปลาจะแยกจากกัน โดยตัวผู้ฝ่าอยู่ใกล้ๆ ไข่ อยู่กันปลาตัวเมียไม่ให้เข้าใกล้ ตัวเมียอยู่ห่างจากรังราว 2-3 m ไข่ที่ได้รับการผสมแล้วมีเส้นผ่านศูนย์กลางประมาณ 1.25-1.5 mm ตัวอ่อนพอกออกจากไข่ภายใน 3 วัน มีลักษณะคล้ายปลาใหญ่เมื่อมีอายุประมาณ 6 สัปดาห์ พ่อแม่ปลาจะว่ายวนเวียนอยู่รอบๆ ลูกปลาและนำไปหาอาหารจนโตได้ขนาดประมาณ 20 cm จึงแตกสูง

ปลาช่อนสามารถมีชีวิตอยู่ได้เป็นเดือนในที่ซึ่งไม่มีน้ำโดยผ่านผิวตัวอยู่ในดินเปียกชื้นเนื่องจากมีอวัยวะช่วยหายใจที่เรียกว่า Deverticulum หรือ Labyrinth ซึ่งอยู่ในโพรงเลือกๆ เหนือช่องเหงือก อวัยวะช่วยหายใจประกอบด้วยเยื่อบางๆ อาจรวมเป็นปุ่มเล็กๆ หรือย่นเป็นหลิบลับซับซ้อนกันอยู่ เยื่อบางๆ นี้ปลาใช้เป็นทางรับกារออกซิเจนจากความชื้นและอากาศที่เก็บกักไว้ในโพรงเหนือช่องเหงือก (ศักดิ์ชัย ชูโชค, 2536) ปลาช่อนเป็นปลาที่มีรากติดอีกทั้งยังสามารถนำไปประกอบอาหารได้หลายรูปแบบ เป็นปลาที่มีผู้นิยมบริโภคอย่างแพร่หลายทำให้แนวโน้มด้านการตลาดเป็นไปได้อย่างสม่ำเสมอ อีกทั้งการแปรรูปปลาช่อนหากแห้งหรือปลา真空 ปลาส้ม ส่วนประกอบของน้ำพริกแห้งบรรจุกระปุกประเภทต่างๆ ก็ยังมีส่วนแบ่งในตลาดสามารถส่งผลผลิตสด และผลิตภัณฑ์ที่แปรรูปแล้วไปสู่ตลาดทั้งในประเทศและต่างประเทศได้ตลอด

นอกจากนี้แล้วปลาช่อนยังมีสรรพคุณตามตำรับยาโบราณ ทางปลาช่อนแห่งชนิดที่ทำปลาเค็มตากแห้งตัดเอาหางมาสูบหรือปิ้งไฟจนเกรียมบดผสมยา มีรสเค็มหวานและเค็มเย็น แก้เม็ดยอดในปากเดือด แก้ลิ้นเป็นฝาละออง ตัวร้อนนอนสะคุ้ง มือเท้าเย็น หลังร้อน แก้หอบทรงทับสำรอคได้จากตำราหมอยาไทย ปลาช่อนเป็นปลาเศรษฐกิจขายได้ทุกขนาดความต้องการของตลาดมีมาก ยิ่งน้ำหนักตัวละ 0.8-1.0 kg จะได้ราคาดิกริโภรัมละ 70-80 บาท ปลาช่อนเล็กๆ ราคาดิกริโภรัมละ 50-60 บาท ถ้าเผาปลาช่อนขายจะได้ตัวละ 90-100 บาท ถ้าแปรรูปเป็นปลาเค็ม ปลาช่อนแฉดเดียว ได้ราคาดิกริโภรัมละ 120 บาท (พิทยา สมุಥธนเวช, 2552)

2.1.2 พลังงานความร้อนจากแสงอาทิตย์

ความร้อนจากแสงอาทิตย์ เป็นพลังงานแผ่รังสีจากดวงอาทิตย์ พลังงานนี้เป็นต้นกำเนิดของวัฏจักรของสิ่งมีชีวิต ทำให้เกิดการหมุนเวียนของน้ำและธาตุต่างๆ เช่น การบอน พลังงานแสงอาทิตย์จัดเป็นหนึ่งในพลังงานทดแทนที่มีศักยภาพสูงปราศจากมลพิษ อีกทั้งเกิดใหม่ไม่สิ้นสุด เป็นที่เข้าใจแล้วว่า พลังงานแสงอาทิตย์ ถือว่าเป็นอภิพลังงานโดยแท้ ความพยายามที่จะนำพลังงานแสงอาทิตย์มาใช้ประโยชน์จำเป็นที่จะต้องเริ่มนึ่งเข้าใจถึงแหล่งกำเนิดพลังงานคือ ดวงอาทิตย์ และเมื่อพลังงานแสงอาทิตย์เดินทางมาถึงโลกแล้วก็ต้องเข้าใจถึงการเปลี่ยนแปลงของพลังงานแสงอาทิตย์ เมื่อผ่านบรรยายกาศของผิวโลก เนื่องจากสภาพอากาศมีความแปรปรวนมาก ซึ่งเป็นผลจากความหลากหลายของลักษณะภูมิประเทศที่ประกอบกันเป็นผิวโลก ความหลากหลายของภูมิอากาศรวมถึงความหลากหลายของกิจกรรมของมนุษย์ที่สร้างผลกระทบต่อบรรยายกาศ (ชาญชัย ลิมปียากร, 2544) ดวงอาทิตย์เป็นกลุ่มก้อนก๊าซมีอุณหภูมิสูงมากโดยที่พื้นผิวของดวงอาทิตย์มีอุณหภูมิสูงถึง 6,000 - 20,000 °C บริเวณใจกลางดวงอาทิตย์มีอุณหภูมิสูงถึง 16,000,000 °C จึงนับได้ว่าดวงอาทิตย์ เป็นแหล่งพลังงานที่ยิ่งใหญ่ โลกอยู่ใต้อิทธิพลของแรงโน้มถ่วงของดวงอาทิตย์พลังงานเกือบทั้งหมดบนโลกจะได้มาจากดวงอาทิตย์ไม่ทางตรงก็ทางอ้อม พลังงานบนดวงอาทิตย์เกิดจากปฏิกิริยาเทอร์โมนิวเคลียร์ โดยมีก๊าซไฮโดรเจน 564 ล้านตันรวมกัน เข้าเป็นธาตุไฮเดรียม 560 ล้านตัน มวลที่หายไป 4 ล้านตัน จะกลายเป็นพลังงานแผ่ออกมายในรูปของพลังงานความร้อนและคลื่นแม่เหล็กไฟฟ้า ดวงอาทิตย์เปรียบเสมือนเป็นเตาปฏิกรณ์นิวเคลียร์ที่ยิ่งใหญ่ ส่งพลังงานออกไปรอบตัว แต่โลกของเราได้รับพลังงานจากดวงอาทิตย์เพียง 1 ใน 2,200 ล้านส่วนเท่านั้น ดวงอาทิตย์เป็นกลุ่มก้อนก๊าซที่มีอุณหภูมิสูงมากมีลักษณะเป็นทรงกลม ส่งพลังงานและอนุภาคต่างๆ ออกไปรอบตัวโดยการแผ่รังสี

ตลอดเวลา จัดเป็นแหล่งพลังงานที่สำคัญที่สุดในระบบสุริยะ ผลจากการศึกษา ชากของสิ่งมีชีวิตหรือที่เรียกว่า ฟอสซิล (fossil) พบว่าดวงอาทิตย์ได้แผ่รังสีมาบ้าง โลกเป็นเวลานาน ประมาณหนึ่งพันล้านปี มาแล้วสิ่งมีชีวิตบนโลกพวกพืชและสัตว์เป็นผู้นำพลังงานจากดวงอาทิตย์มาใช้ประโยชน์ และยังมีพลังงานในรูปของลมและคลื่นรวมกันแล้ว โลกใช้พลังงานไปเพียงร้อยละ 0.2 เท่านั้นจาก 1 ใน 2,200 ล้านล้าน ที่เหลือนอกนั้นเป็นพลังงานที่สูญเสียไปเพราะถูก metamorphosize ห้อนออกไปสู่อวกาศ (สมัยกแม่นส่วน, 2548 : เวปไซต์)

มนุษย์จึงนำพลังงานจากดวงอาทิตย์มาใช้ประโยชน์โดยตรงมาตั้งแต่สมัยโบราณคือใช้ในการตากผ้า ตากผลผลิตทางการเกษตรและอุตสาหกรรมท่านากลือ เป็นต้น ในสมัยปัจจุบันได้นำความรู้เกี่ยวกับพลังงานแสงอาทิตย์ มาใช้ประโยชน์โดยใช้เทคโนโลยีและออกแบบเครื่องมือในการนำพลังงานแสงอาทิตย์มาใช้ประโยชน์ให้ได้มากที่สุด สำหรับประเทศไทยมีพื้นที่ประมาณ $500,000 \text{ km}^2$ ตั้งอยู่ในเขตไอล์ดี้เคนเด็นศูนย์สูตร หรืออยู่ในแคนร้อนมีค่าพลังงานแสงอาทิตย์เฉลี่ยค่อนข้างสูงประมาณวันละ 4.7 kW/h หากสามารถใช้พลังงานแสงอาทิตย์ที่ตกลงบนประเทศไทย เพียงร้อยละ 1 ของพื้นที่ทั้งหมดต่อปีจะได้พลังงานเทียบเท่ากับน้ำมันดินประมาณ 700 ล้านตัน การค้นคว้าเพื่อนำพลังงานแสงอาทิตย์มาใช้แทนพลังงานเชื้อเพลิงอื่นซึ่งเป็นพลังงานที่หมดไปจากโลกได้จริงมีความจำเป็นต้องวิจัยและพัฒนาเพื่อให้สามารถนำมาใช้งานให้ได้ต่อไป การนำพลังงานแสงอาทิตย์มาใช้โดยการประดิษฐ์เครื่องมือต่าง ๆ เช่น การกลั่นน้ำด้วยแสงอาทิตย์ การอบแห้งด้วยแสงอาทิตย์ และการแปรรูปพลังงานแสงอาทิตย์มาเป็นพลังงานไฟฟ้า โดยตรงหรือที่เรียกว่า โซล่าเซลล์

2.1.3 การทำแห้ง

การทำแห้งเป็นวิธีการถนอมอาหารที่เก่าแก่ พ布ว่ามีการนำเนื้อสัตว์และปลาไปตากแดดตั้งแต่อดีกาลซึ่งไม่มีการบันทึกไว้ว่าเริ่มใช้วิธีดังกล่าวในปีใด ส่วนในปัจจุบันนี้กระบวนการการทำแห้งอาหารมีความสำคัญเนื่องจากเป็นวิธีถนอมอาหารที่ทำให้สามารถเก็บอาหารได้นาน โดยปราศจากการเน่าเสีย สาเหตุที่ทำให้อาหารเก็บได้นานขึ้นเมื่ออาหารนั้นผ่านการทำแห้งก็ เพราะ น้ำที่เหลือจะจุลินทรีย์ใช้ในการดำรงชีวิตมีไม่พอเพียงต่อภาระภัยในเซลล์ ช่วยชะลอภาระภัยต่างๆ ไม่ว่าจะเป็นการเจริญเติบโต การแบ่งเซลล์ นอกจากนั้นยังช่วยเอนไซม์หลายชนิดที่ไม่ต้องการซึ่งมีอิทธิพลต่อการเปลี่ยนแปลงโครงสร้างเคมีของสารอาหารได้ เหตุผลหลักในการทำแห้งก็คือเพื่อยืดอายุการเก็บรักษา แต่การทำแห้งนั้นยังกล่าวเป็นกระบวนการแปรรูปอาหารด้วย เช่น การอบขนมปัง เป็นการ

ประยุกต์ใช้ความร้อนจากลมร้อนทำให้โครงสร้างของโปรดีนและสตาร์ชเปลี่ยนแปลงไป สามารถเก็บรักษาแก๊สได้ ในบางสถานการณ์การสูญเสียความชื้นกลับเป็นสิ่งที่ไม่ต้องการ ตัวอย่างเช่น ในระหว่างการเก็บรักษาเนยแข็ง และเนื้อสัตว์สด หรือที่ผ่านการแช่แข็ง และรวมไปถึงอาหารอื่นๆ ที่สัมผัสกับอาหารร้อน การทำแห้งอาหารเป็นการขัดน้ำออกจากชิ้นอาหารซึ่งนำส่วนใหญ่ในอาหารจะระเหยออกจากอาหารด้วยความร้อนแรง ดังนั้นจึงควรมีการควบคุมปัจจัยสำคัญ 2 ตัว ในการทำแห้งดังต่อไปนี้

- 1) การถ่ายโอนความร้อนจะต้องครอบคลุมบริเวณความร้อนแห้งในการระเหย
- 2) การเคลื่อนที่ของน้ำและเปลี่ยนสถานะไปเป็นไออกผ่านเนื้ออาหาร และผลจากการที่น้ำถูกขัดออกไปจากอาหาร

สภาวะการทำแห้ง สามารถจำแนกได้ออกเป็น 3 กรณีดังนี้

- 1) การทำแห้งภายใต้ความดันบรรยายกาศด้วยอากาศร้อน และเครื่องทำแห้งชนิดสัมผัสความร้อนจะถูกถ่ายโอนเข้าไปในอาหารจากลมร้อน หรือผ่านสัมผัสร้อน แล้วน้ำจะถูกดึงออกไปด้วยอากาศที่ไม่อิ่มตัว
- 2) การทำแห้งภายใต้สูญญากาศ ข้อดีคือเกิดการดึงน้ำออกได้อย่างรวดเร็วภายใต้ความดันที่ต่ำกว่ารัฐที่ 1 ลักษณะการถ่ายโอนความร้อนที่เกิดขึ้นมักเกิดแบบการพาบงครั้งเกิดร่วมกับการแร่รังสี
- 3) การทำแห้งแบบเยือกแข็ง แตกต่างจาก 2 วิธีแรกตรงที่นำที่อยู่สถานะน้ำแข็งจะกลายเป็นไออกโดยการระเหดลักษณะโครงสร้างของอาหารจึงยังมีสภาพที่ดีกว่า แต่มีต้นทุนการผลิตสูงและได้ผลผลิตน้อย

การถ่ายโอนความร้อนในการทำแห้ง พิจารณาถึงปริมาณความร้อนที่ต้องการในกระบวนการทำแห้ง จำเป็นต้องทราบก็อกในถ่ายโอนความร้อน อัตราการทำแห้งซึ่งคิดระหว่างปริมาณความร้อนที่ใช้ในการเปลี่ยนสถานะของน้ำซึ่งก็คือ ความร้อนแห้งซึ่งใช้เป็นตัวพาเนาออกไปจากอาหาร ลักษณะของการถ่ายโอนความร้อนในระหว่างการทำแห้งเกิดขึ้นได้ทั้ง 3 แบบ คือ การนำ การพา และการแร่รังสี ซึ่งมีความเกี่ยวข้องกับก็อกของกระบวนการทำแห้งนั้นๆ (มนต์สุกใส, 2548 : เว็ปไซต์)

2.1.4 ความชื้นในวัสดุ

ความชื้นเป็นตัวบอกปริมาณของน้ำที่มีอยู่ในวัสดุเมื่อเทียบกับมวลของวัสดุชื้นหรือแห้ง ความชื้นในวัสดุสามารถแบ่งได้เป็น 2 ลักษณะดังนี้

ความชื้นมาตรฐานแห้ง (% d.b.) เกี่ยนเป็นสมการได้ดังนี้

$$M_d = \frac{w-d}{d} \times 100 \quad (2.1)$$

ความชื้นมาตรฐานเปียก (% w.b.) เกี่ยนเป็นสมการได้ดังนี้

$$M_w = \frac{w-d}{w} \times 100 \quad (2.2)$$

เมื่อ	M_w	คือ	ความชื้นมาตรฐานเปียก (% d.b.)
	M_d	คือ	ความชื้นมาตรฐานแห้ง (% w.b.)
w		คือ	มวลของวัสดุ (g)
d		คือ	มวลแห้ง (g)

1) วิธีการหาความชื้น

วิธีการหาความชื้นแบ่งออกได้ 2 ลักษณะ ดังนี้

1.1) การวัดค่าความชื้นโดยตรงโดยวิธี AOAC 2005 (Association of official Agricultural Chemists) ทำได้โดยการซึ่งน้ำหนักเป็นน้ำหนักเปียก แล้วนำไปใส่ในตู้อบที่อุณหภูมิ 120°C ประมาณ 24 h แล้วนำไปวางในเดซิเกตเตอร์ (Desiccator) จนเย็นแล้วซึ่งน้ำหนักอีกครั้งหนึ่ง โดยให้น้ำหนักของวัสดุที่ผ่านการอบแห้งนี้มาแล้วถือว่าเป็นน้ำหนักแห้ง จากนั้นสามารถนำไปคำนวณหาความชื้นได้ตามสมการการหาความชื้นมาตรฐานเปียกและการหาความชื้นมาตรฐานแห้ง

1.2) การวัดความชื้นโดยใช้เครื่องวัดความชื้น การวัดความชื้นโดยใช้เครื่องวัดความชื้นนั้นมีอยู่หลายรูปแบบโดยใช้หลักการต่างกัน เช่น ใช้สมการการสะท้อนคลื่นแสงอินฟราเรด หรือใช้หลักการวัดความจุไฟฟ้า หรือใช้หลักการการวัดความด้านทานไฟฟ้า เป็นต้น การวัดความชื้นโดยเครื่องวัดนั้นสามารถวัดได้อย่างรวดเร็วแต่การวัดความชื้นแบบนี้จะต้องทำการสอบเทียบกับวิธีมาตรฐาน

2) ความชื้นสมดุล

อาหารที่มีคุณสมบัติในการดูดและด�ความชื้นให้กับบรรยายกาศเมื่อนำอาหารวางสัมผัสด้วยอากาศ ถ้าความชื้นในอาหารมีแรงดันไอน้ำสูงกว่าอากาศ อาหารจะถ่ายเทความชื้นภายในตัวมันให้กับอากาศ ในทางตรงข้าม ถ้าอากาศมีแรงดันไอน้ำจะสูงกว่าอาหาร ความชื้นจากอากาศก็จะถ่ายเทให้กับอาหาร การถ่ายเทความชื้นจะดำเนินไปเรื่อยๆ จนกระทั่งความดันไอน้ำทั้งสองมีค่าเท่ากัน ความชื้นที่อาหารมีอยู่ขณะนี้เรียกว่า ความชื้นสมดุลส่วนอากาศที่มีความชื้นสัมพัทธ์สมดุล

3) ความชื้นสัมพัทธ์ของอากาศ

อากาศมีความชื้นอยู่ชั่นเดียว กัน เราบอกความชื้นของอากาศเป็นความชื้นสัมพัทธ์ ซึ่งหมายถึง อัตราส่วนความดันไอน้ำในบรรยายกาศกับความดันไอน้ำอีมตัวที่อุณหภูมิและความดันบรรยายกาศเดียวกัน อากาศที่มีความชื้นสัมพัทธ์ต่ำ จะสามารถรับความชื้นจากอาหาร ได้มาก จึงนิยมใช้หลักการนี้ในการอบแห้งอาหาร โดยการอุ่นอากาศให้ร้อน หรือติดตั้งระบบดูดความชื้นจากอากาศ ทำให้อากาศมีความชื้นสัมพัทธ์ต่ำหรืออากาศแห้ง

2.1.5 ทฤษฎีการประมาณค่าสัมประสิทธิ์การพาความร้อน

เมื่อพิจารณาการถ่ายโอนความร้อนที่เกิดขึ้นบริเวณผิวสัมผัสระหว่างปลาช่อนและอากาศ แวดล้อม เจียนสมการความสัมพันธ์ในรูปที่ 2 (Dilip Jaina, 2006 : 430-431) ดังนี้

$$h_c = Q_{ev} / A (T_A - T_M) \quad (2.3)$$

เมื่อ Q_{ev} คือ อัตราการถ่ายโอนความร้อนที่ใช้ในการระเหยน้ำในปลาช่อน

(J/s)

h_c คือ สัมประสิทธิ์การพาความร้อนแบบธรรมชาติของปลาช่อน
(W/m² °C)

A คือ พื้นที่ผิวของปลาช่อนที่ได้รับพลังงานแสงอาทิตย์ (m²)

T_A คือ อุณหภูมิของอากาศเหนือผิวปลาช่อน (°C)

T_M คือ อุณหภูมิของปลาช่อน (°C)

ค่าสัมประสิทธิ์การพาราความร้อน (h_c) สำหรับการทำแห้งโดยการตากแดดที่ก่อการแข็งช่องมีการพาราความร้อนแบบธรรมชาติ สามารถแสดงในรูปความสัมพันธ์ของพารามิเตอร์ไรเมติ ดังนี้

$$Nu = \frac{h_c X}{K} = N(Ra)^n \quad (2.4)$$

หรือ

$$h_c = \frac{K}{X} \cdot N(Ra)^n \quad (2.5)$$

เมื่อ	Nu	คือ	นัสเซลท์นัมเบอร์ (Nusselt Number) มีค่าเท่ากับ $h_c X/K$
K		คือ	สภาพการนำความร้อนของอากาศ ($\text{W/m}^2 \text{ K}$)
X		คือ	ขนาดของปลาซ่าอนเลฟพาร์มีค่าเท่ากับ $A/S (\text{m})$
N,n		คือ	ค่าคงที่
Ra		คือ	ราเดย์นัมเบอร์ (Rayleigh Number) มีค่าเท่ากับ $GrPr$

เนื่องจากการทำแห้งปลาซ่าอนโดยการตากแดดก่อการแข็งอยู่ในช่วงของอัตราการอบแห้งคงที่ จึงสามารถคำนวณอัตราการถ่ายโอนความร้อน (Q_{ev}) ที่ใช้ในการระเหยน้ำในปลาซ่าอนได้จาก

$$Q_{ev} = 0.016 \cdot h_c \cdot [P(T_M) - RH \cdot P(T_A)] \quad (2.6)$$

โดยการนำสมการ (2.5) แทนในสมการ (2.6)

$$Q_{ev} = 0.016 \cdot \frac{K}{X} \cdot N(Ra)^n \cdot [P(T_M) - RH \cdot P(T_A)] \quad (2.7)$$

เมื่อ	P(T)	คือ	ความดันไออกซิเจนที่อุณหภูมิใดๆ (N/m^2)
RH		คือ	ความชื้นสัมพันธ์ของอากาศหนึ่งผิวปลาซ่าอน (decimal)

ทำการหารสมการ (2.6) ด้วยค่าความร้อนแห้งของการกลาญไออกซิเจน (L) และคุณค่าพื้นที่ (A) และเวลา (t) ที่ปลาซ่าอนได้รับพลังงานความร้อนจากแสงอาทิตย์ จะสามารถคำนวณมวลของไอน้ำที่ระเหย (M_{ev}) ได้ดังนี้

$$M_{ev} = \frac{Q_{ev}}{L} \cdot A \cdot t = 0.016 \cdot \frac{K}{XL} \cdot N(Ra)^n \cdot [P(T_M) - RH \cdot P(T_A)] \cdot A \cdot t \quad (2.8)$$

เมื่อ M_{ev}	คือ	มวลของน้ำในปลาช่อนที่ระเหย (kg)
A	คือ	พื้นที่ผิวของปลาช่อนที่ได้รับพลังงานแสงอาทิตย์ (m^2)
L	คือ	ความร้อนแฝงของการกลาญเป็นไอ (J/kg)
t	คือ	เวลา (min)

จากสมการ (2.8) ถ้ากำหนดให้

$$0.016 \cdot \frac{K}{XL} \cdot [P(T_M) - RH \cdot P(T_A)] \cdot A \cdot t = Z \quad (2.9)$$

แล้วจดรูปสมการ (2.8) ใหม่จะได้ดังนี้

$$\frac{M_{ev}}{Z} = N(Ra)^n \quad (2.10)$$

ทำการใส่ ln ทั้งสองข้างของสมการ (2.10) จะได้

$$\ln\left[\frac{M_{ev}}{Z}\right] = n \ln(Ra) + \ln N \quad (2.11)$$

พิจารณาสมการ (2.11) เทียบกับรูปแบบของสมการเชิงเส้นตรง จะพบว่าเมื่อพล็อตค่า $\ln(Ra)$ และ $\ln(M_{ev}/Z)$ จะได้ความชันของกราฟเส้นตรงเท่ากับ n และค่าจุดตัดแกน Y (Y-Intercept) โดยใช้สมบัติทางกายภาพของอากาศซึ่งประกอบด้วยค่าความร้อน latent (C) สภาพการนำความร้อน (K) ความหนาแน่น (ρ) ความหนืดพลวัต (μ) ค่าความดัน ไออยด์อย (P(T)) ความร้อนแฝงของการกลาญเป็นไอ (L) และสัมประสิทธิ์การขยายตัวเชิงปริมาตรของอากาศ (β) ตามสมการที่ (2.12) – (2.18)

$$C = 999.2 + 0.1434T_{av} + 1.101 \times 10^{-4}T_{av}^2 - 6.7581 \times 10^{-8}T_{av}^3 \quad (2.12)$$

$$K = 0.0244 + 0.6773 \times 10^{-4}T_{av} \quad (2.13)$$

$$\rho = 353.44 / T_{av} \quad (2.14)$$

$$\mu = 1.718 \times 10^{-5} + 4.620 \times 10^{-8}T_{av} \quad (2.15)$$

$$P(T) = \exp(25.317 - 5144/(T_{av} + 273.15)) \quad (2.16)$$

$$L = 3.1615 \times 10^6 (1 - 7.6166 \times 10^{-4} T_{av}) \quad (2.17)$$

$$\beta = 1/T_{av} \quad \text{เมื่อ } T_{av} = (T_A + T_M)/2 \quad (2.18)$$

เมื่อ β	คือ	สัมประสิทธิ์การขยายตัวเชิงปริมาตรของอากาศ (I/K)
T_{ev}	คือ	อุณหภูมิเฉลี่ยของปลาช่อนและอากาศเหนือปลาช่อน ($^{\circ}\text{C}$)
av	คือ	ค่าเฉลี่ย
T_A	คือ	อุณหภูมิของอากาศเหนือผิวปลาช่อน ($^{\circ}\text{C}$)
T_M	คือ	อุณหภูมิของปลาช่อน ($^{\circ}\text{C}$)
A	คือ	อากาศ
M	คือ	วัสดุ

2.2 งานวิจัยที่เกี่ยวข้อง

อําแพคกัด และประทีป (2554) ได้ทำการศึกษาเรื่องสมการชั้นบางของปานิลอบแห้งด้วยลมร้อน เป็นการศึกษาสมการอบแห้งชั้นบางที่เหมาะสมสำหรับอบแห้งปานิลด้วยลมร้อน โดยมีเงื่อนไขการทดลอง คือ ความเร็วลม 1.0, 1.5 และ 2.0 m/s อุณหภูมิของอากาศอบแห้งเท่ากับ 50, 60 และ 70 $^{\circ}\text{C}$ สมการอบแห้งชั้นบางที่ศึกษาประกอบด้วยสมการของ Two term, Page, Modified Page I, Logarithmic, Two term exponential, Henderson and Pabis, Approximation of diffusion และ Newton จากการศึกษาพบว่า อัตราการอบแห้งจะเพิ่มขึ้นเมื่ออุณหภูมิอบแห้งหรือความเร็วลม นอกจากนั้นจากการวิเคราะห์พบว่าสมการ Two term สามารถทำนายผลการอบแห้งปานิลด้วยลมร้อนได้ดีที่สุด โดยให้ค่า R^2 (0.99899) มากที่สุด และค่า RMSE (0.0092) น้อยที่สุด

อีลีหยัง และมะธุริดิ (2552) ได้ทำการศึกษาทดลองเพื่อหาค่าสัมประสิทธิ์การพากวนร้อนแบบธรรมชาติของการทำแห้งส้มแขก พบว่าที่ความชื้นเริ่มต้น 85 % w.b. ความหนา 8.89 และ 16.70 mm และเส้นผ่านศูนย์กลาง 73.10 mm โดยใช้ความล้มพันธ์ของสมการ $Nu = h_c X/K = N(Ra)$ เมื่อค่าคงที่ N และ n หากจากการวิเคราะห์สมการการถดถอยเชิงเส้น จากการทดลองพบว่า ชั้นส้มแขกที่มีความหนา 8.89 mm มีค่าสัมประสิทธิ์การพากวนร้อนแบบธรรมชาติเฉลี่ยเท่ากับ 29.99 $\text{W/m}^2 - ^{\circ}\text{C}$ เมื่อค่า N และ n เท่ากับ 1.818 และ 0.245 ตามลำดับ และเท่ากับ 29.43 $\text{W/m}^2 - ^{\circ}\text{C}$

สำหรับชิ้นสัม样ที่มีความหนา 16.70 mm เมื่อค่า N และ n เท่ากับ 1.455 และ 0.266 ตามลำดับ

เสกสรร และคณะ (2551) ได้ทำการศึกษาเรื่องการหาค่าสัมประสิทธิ์การถ่ายเทความร้อน และการถ่ายมวลในกระบวนการอบแห้งใบชา จากการทดลอง พบว่าค่าสัมประสิทธิ์การถ่ายเทความร้อนและการถ่ายมวลในกระบวนการอบแห้งใบชาในแต่ละครั้งนั้นจะขึ้นอยู่กับปริมาณน้ำที่มีอยู่ในใบชา และการลดลงของน้ำหนักใบชาผ่านการอบ ซึ่งการลดลงนี้เป็นผลเนื่องมาจากการระเหยของน้ำที่มีอยู่ภายในใบชา ซึ่งจะถูกควบคุมโดยสภาพะในการอบ ได้แก่ อุณหภูมิ และเวลาที่ใช้ในการอบ

ณรงค์ และคณะ (2545) ได้ทำการศึกษาเรื่องการอบแห้งปลาร้าด้วยไอน้ำร้อนယดยิ่งและอากาศร้อน โดยมีเงื่อนในการทดลองดังนี้ อุณหภูมิไอน้ำร้อนယดยิ่งและอากาศร้อน 120, 140 และ 160°C อัตราการไหลดเชิงปริมาตร $0.071 \text{ m}^3/\text{s}$ ลดความชื้นจาก 2.4 (d.b) ให้เหลือความชื้นสุดท้าย 0.04 (d.b) จากการทดลองพบว่าอัตราการอบแห้งปลาร้าด้วยไอน้ำร้อนယดยิ่งอุณหภูมิ 120, 140 และ 160°C ต่างกับการอบแห้งด้วยอากาศร้อน และอัตราการอบแห้งที่ได้จากการใช้ตัวกลางทึ้งสองมีค่าใกล้เคียงกันที่อุณหภูมิ 160°C สีของปลาร้าดลังการอบแห้งด้วยไอน้ำร้อนယดยิ่งจะเข้มกว่าการอบแห้งด้วยอากาศร้อน

มนัสวี และคณะ (2545) ได้ทำการศึกษาเรื่องการอบแห้งลำไยชนิดแกะเปลือกด้วยเครื่องลดความชื้นแบบสลับทิศทางอากาศร้อน ซึ่งประกอบด้วยภาชนะบรรจุผลิต 9 ถาด มีพื้นที่วางผลผลิตรวม 3.37 m^2 โดยออกแบบให้อากาศร้อนไหลดผ่านสลับกันจากด้านข้างผนังทึ้งซ้ายและขวา ซึ่งจะทำการอบแห้งโดยต่อเนื่องไม่มีการสลับชั้นภาชนะบรรจุ จากการทดลองที่ความเร็วอากาศร้อน 2 ระดับ และระยะเวลาการสลับทิศทาง 2 ช่วงเวลา ใช้เนื้อลำไยรวม 20 kg อบแห้งที่ความชื้น 733.3 % d.b. หรือ 88 % w.b. จนต่ำกว่า 21.95 % d.b. หรือ 18 % w.b. โดยใช้อุณหภูมิ 70°C พบว่าคุณภาพของลำไยแห้งแต่ละชั้นภาชนะมีความสม่ำเสมอ โดยที่ความเร็วลม 0.75 m^2 มีอัตราการอบแห้ง 35.36 - 41.67 และ 41.69 % d.b./h ที่ระยะเวลาการสลับทิศทาง 0 - 3 และ 6 h ตามลำดับ โดยใช้เวลาในการอบเท่ากับ 18 - 20 h ส่วนที่ความเร็วลม 1.35 m^2 มีอัตราการอบแห้ง 37.58 - 43.34 และ 44.35 % d.b./h ที่ระยะเวลาการสลับทิศทาง 0 - 3 และ 6 h ตามลำดับ โดยใช้เวลาในการอบ 16 h

Dilip Jaina (2006) ได้ทำการศึกษาหาค่าสัมประสิทธิ์การพากความร้อนและการถ่ายเทมวลของปลาสายพันธุ์อินเดียสำหรับการอบแห้งพลังงานแสงอาทิตย์ เช่น กุ้ง (*Macrobrachium lamarrei*) และปลา (chelwa) (*Oxygaster bacaila*) ข้อมูลจากการทดลองบันทึกเป็นรายชั่วโมงเพื่อหาอัตราการระเหยของความชื้น อุณหภูมิของปลาและความชื้นสัมพัทธ์ของอากาศโดยรอบ เพื่อใช้ในการ

กำหนดค่าสัมประสิทธิ์การพาความร้อนและการถ่ายโอนมวล ซึ่งส่วนใหญ่ค่าที่ได้จะขึ้นอยู่กับอัตราส่วนของการถ่ายโอนความชุ่มชื้นภายในตัวกระบวนการอบแห้งซึ่งได้รับการกำหนดเป็นช่วงเวลาของการอบแห้งและปริมาณความชื้นของปลา โดยมวลค่าสัมประสิทธิ์การพาความร้อนจะแตกต่างกันในการถ่ายโอนคือสำหรับกุ้ง $8.958 - 0.402 \mu\text{m s}^{-1}$ และสำหรับปลา chelwa $7.613 - 0.320 \mu\text{m s}^{-1}$

Marina และคณะ (2006) ได้ทำการศึกษาทดลองหาค่าสัมประสิทธิ์การพาความร้อนในระหว่างการอบแห้งพริกไทยอ่อน ซึ่งเป็นการอบแห้งแบบธรรมชาติด้วยแสงอาทิตย์ โดยใช้ความสัมพันธ์ของสมการ $\text{Nu} = h_c X/K_v = C(\text{Gr.Pr})^n$ โดยที่ค่าคงที่ C และ n หากได้โดยใช้การวิเคราะห์การลดคลายเชิงเด่นจากผลการทดลอง ซึ่งได้ค่าสัมประสิทธิ์การพาความร้อนในการอบแห้งพริกไทยอ่อน เท่ากับ $6.28 \text{ W/m}^2 - {}^\circ\text{C}$ ที่ $\text{Pr} = 0.7$ และ $1.3 \times 10 < \text{Gr} < 4.43 \times 10$

Tiwari และ Rajesh (2002) ได้ทำการศึกษาแบบจำลองในที่ร่ม โดยได้ดำเนินการประเมินความร้อนและความสัมพันธ์สำหรับการถ่ายโอนมวลแบบกึ่งโลหะทรงกระบอก (ทึบแสง) สำหรับอัตราผลตอบแทนที่สูงขึ้นอุณหภูมิการใช้งานที่แตกต่างกันภายใต้โน้มฟรีและบังคับของการดำเนินการ โดยมีวัตถุประสงค์เพื่อการออกแบบหน่วยกลั่นเพื่อผลผลิตสูงเพื่อการค้า โดยเฉพาะอย่างยิ่งในประเทศอินเดีย สำหรับการดำเนินการทดลองในช่วงอุณหภูมิที่ $40 - 80 {}^\circ\text{C}$ ในสภาพที่ steady-state โดยการใช้น้ำอุณหภูมิกับที่ข้อมูล (อุณหภูมิและผลผลิต) ที่ได้รับจากการทดลอง ได้รับการใช้ในการกำหนดค่าสัมประสิทธิ์ C และ n และ เช่นเดียวกับการระบุที่มีค่าสัมประสิทธิ์การถ่ายเทความร้อน เป็นแบบ inferred ซึ่งมีผลตอบแทนที่สูงกว่าที่ได้รับจากการเพิ่มขึ้นของอุณหภูมิในโน้ม บังคับเมื่อเทียบกับที่อยู่ในโน้มธรรมชาตินี้องจากมีการปล่อยอย่างรวดเร็วของความร้อนจากฝาครอบกลั่น

Anwar และ Tiwari (2001) ได้ทำการศึกษาหาค่าสัมประสิทธิ์การพาความร้อนของผลผลิตทางการเกษตร 6 ชนิด ได้แก่ พริกขี้หนูเขียว ถั่วเขียว ถั่วขาว หอมหัวใหญ่ มันฝรั่ง และดอกดาว火 ทำการอบแห้งโดยการตากแห้งกลางแจ้งซึ่งใช้การพาความร้อนแบบธรรมชาติ จากการทดลองพบว่าสัมประสิทธิ์การพาความร้อนที่อยู่ในช่วง $3.5 - 26 \text{ W/m}^2 - {}^\circ\text{C}$

Marina และคณะ (2001) ได้ทำการศึกษาทดลองเพื่อหาค่าสัมประสิทธิ์การพาความร้อนที่เกิดขึ้นในการอบแห้งขิง ซึ่งเป็นการอบแห้งแบบธรรมชาติด้วยแสงอาทิตย์ โดยใช้ความสัมพันธ์ของสมการ $\text{Nu} = h_c X/K_v = C(\text{Gr.Pr})^n$ โดยที่ค่าคงที่ C และ n หากได้โดยใช้การวิเคราะห์การลดคลายเชิงเด่นจากผลการทดลอง ซึ่งได้ค่าสัมประสิทธิ์การพาความร้อนในการอบแห้งขิง (h_c) $26.25 \text{ W/m}^2 - {}^\circ\text{C}$

บทที่ 3

วิธีดำเนินการวิจัย

3.1 วัสดุและอุปกรณ์

ในการวิจัยหาค่าสัมประสิทธิ์การพากความร้อนแบบธรรมชาติของปลาช่อน มีวัสดุอุปกรณ์ที่ใช้ในการทดลอง ดังนี้

3.1.1 อุปกรณ์

1. ตู้เย็น ยี่ห้อ Toshiba
2. เทอร์โมมิเตอร์ ความละเอียด $\pm 0.01^\circ\text{C}$
3. ฟอยด์
4. ตะแกรงรอง กว้าง 15 cm ยาว 15 cm
5. ตะแกรงหลัก กว้าง 28 cm ยาว 28 cm
6. ตู้อบ (Oven) ยี่ห้อ Memmer รุ่น Basic
7. เครื่อง Digital Multimeter รุ่น UNAOHM 9400 ความละเอียด $\pm 0.1^\circ\text{C}$
8. สายเทอร์โมคัพเปิลชนิดเค (K-Type Thermocouple)
9. เครื่องชั่งแบบดิจิตอล Mettler Toledo รุ่น BP 1502 ความละเอียด $\pm 0.01\text{ g}$
10. เครื่อง Flash Link Data Logger รุ่น Delta TRAK ความละเอียด $\pm 0.1^\circ\text{C}$
11. พัคลม ยี่ห้อ GEO
12. ตลับเมตร ความละเอียด $\pm 0.1\text{ cm}$
13. เกอร์นีบร์ ความละเอียด $\pm 0.02\text{ cm}$
14. เครื่องวัดความเร็วลม ยี่ห้อ DIGICON รุ่น DA-41 ความละเอียด $\pm 0.01\text{ m/s}$

3.1.2 วัสดุ

1. ปลาช่อน

3.2 ขั้นตอนการทดลอง

3.2.1 การหาค่าความชื้นมาตรฐานแห้ง

- 1) นำปลาช่อนที่เตรียมไว้ตัดเป็นแผ่นให้ได้ขนาดตามความกว้าง × ยาว เท่ากับ $4.5\text{ cm} \times 7\text{ cm}$ (ดังภาพที่ 3.1)

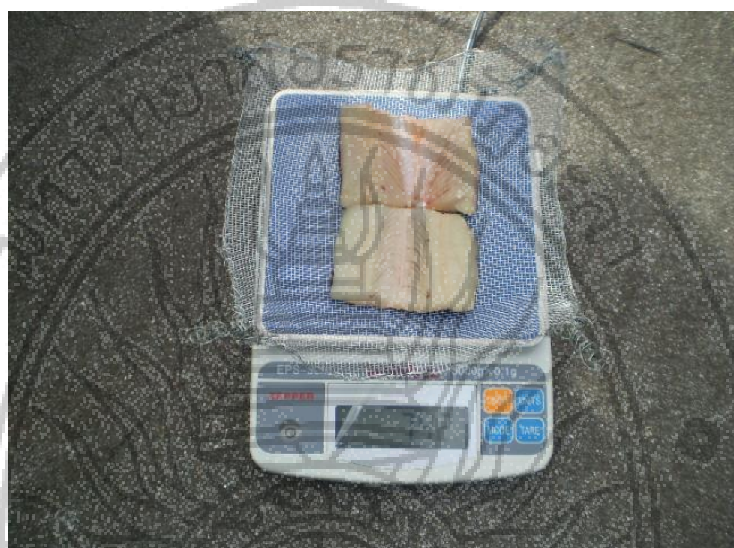


ภาพที่ 3.1 การตัดขนาดของปลาช่อนที่ทดลอง

- 2) นำปลาที่ได้ใส่ในภาชนะที่มีฝาปิด จากนั้นนำไปใส่ในตู้เย็นตั้งไว้ที่อุณหภูมิ 3°C เป็นเวลา 15 h เพื่อให้ความชื้นสมำเสมอ หลังจากนั้นนำปลาออกจากตู้เย็นพักไว้ 40 min เพื่อให้ความชื้นเข้ากับสภาพแวดล้อมพอประมาณ
- 3) นำปลาช่อนที่ออกจากตู้เย็นมาทำการทดลองโดยการแบ่งปลาช่อนออกเป็น 2 ส่วน คือ ปลาช่อนส่วนแรกนำไปอบที่อุณหภูมิ 130°C เป็นเวลา 5 h เพื่อหาค่าความชื้นเริ่มต้นตามมาตรฐาน AOAC 2005 โดยหาได้จากสมการที่ 2.1 จากนั้นนำปลาช่อนส่วนที่สองไปตากแห้งกลางแจ้งที่อุ่นๆ แสงอาทิตย์เป็นแหล่งพลังงานแล้ววิเคราะห์หาค่าสัมประสิทธิ์การพาราความร้อนแบบธรรมชาติต่อไป

3.2.2 การหาค่าสัมประสิทธิ์การพากความร้อนแบบธรรมชาติของปลาช่อน

1) ปลาช่อนส่วนที่สองให้แบ่งเป็น 3 ชุด และนำตะแกรงรองมาชั่งน้ำหนัก หลังจากนั้นนำปลาช่อนทั้ง 3 ชุดมาวางบนตะแกรงรอง แล้วชั่งน้ำหนักอีกครั้งทั้ง 3 ตะแกรง แล้วจดบันทึกเป็นน้ำหนักเริ่มต้น



ภาพที่ 3.2 การชั่งน้ำหนักของปลาช่อนและตะแกรงรองก่อนตากแห้งด้วยพลังงานความร้อนจากแสงอาทิตย์

2) นำปลาช่อนทั้ง 3 ชุด ไปตากแห้งด้วยพลังงานความร้อนจากแสงอาทิตย์ ณ ชั้นดาดฟ้าอาคาร 9 ศูนย์วิทยาศาสตร์และวิทยาศาสตร์ประยุกต์ มหาวิทยาลัยราชภัฏยะลา บนตะแกรงหลักทั้งสามหลัง ที่ออกแบบให้มีรูปร่างและลักษณะที่แตกต่างกัน ดังนี้

- (1) ตะแกรงที่ 1 เปิดอิสระ
- (2) ตะแกรงที่ 2 แผ่นอคิลิสไสบังลมทั้ง 4 ด้าน
- (3) ตะแกรงที่ 3 แผ่นอคิลิสไสบังลม 2 ด้าน โดยเว้นช่องว่างให้พักลมเป่า พร้อมกำหนดความเร็วลม 3 ค่า คือ 2.7 , 3.0 และ 3.5 m/s



ภาพที่ 3.3 การตากแห้งปลาช่องบันตะแกรงที่แตกต่างกัน

- 3) ในการตั้งตะแกรงที่ 3 ให้วัดระยะห่าง 60 cm จากพัดลมถึงขอบของปลาช่องบันตะแกรงหลัก



ภาพที่ 3.4 การวัดระยะห่างระหว่างพัดลมกับขอบของปลาช่องบัน

- 4) ทำการวัดอุณหภูมิของปลาช่องบันผึ่งบนผิววัสดุ ได้ผิววัสดุ และที่ระดับกึ่งกลางความหนาด้วยเครื่อง Digital Multimeter รุ่น UNAOHM 9400 ความละเอียด 0.1°C ที่ต่อเข้ากับสายเทอร์

ไมโครเพลชนิค เค (K-Type Thermocouple) รุ่น Delta TRAK ความละเอียด 0.1°C ของปลาช่อน และความชื้นสัมพัทธ์ของอากาศ แล้วบันทึกผล



ภาพที่ 3.5 การวัดอุณหภูมิบนผิวสัมผัติ ให้ผิวสัมผัติและในผิวสัมผัติ

5) หลังจากวัดอุณหภูมิบนผิวสัมผัติ ให้ผิวสัมผัติ ในผิวสัมผัติและความชื้นสัมพัทธ์เสร็จ นำไป ขึ้นน้ำหนักของปลาช่อนทั้ง 3 ตะแกรง โดยชั่งทุกๆ 15 min เป็นเวลา 3 h ด้วยเครื่องชั่งแบบดิจิตอล Mettler Toledo รุ่น BP 1502 ความละเอียด 0.01 g บันทึกน้ำหนักเริ่มต้นและน้ำหนักที่เปลี่ยนแปลง 120 min จึงหยุดการทดลอง ทำการทดลองซ้ำ 3 ครั้ง จากนั้นนำข้อมูลที่ได้ไปวิเคราะห์หาค่า สัมประสิทธิ์การพากความร้อนตามธรรมชาติ



ภาพที่ 3.6 การชั่งน้ำหนักของปลาช่อน

6) จากนั้นนำข้อมูลที่ได้ไปวิเคราะห์หาค่าสัมประสิทธิ์การพากความร้อนตามธรรมชาติ

3.2.3 การหาค่าความชื้น

นำปลาช่อนที่ตากครบ 3 h มาอบที่อุณหภูมิ 120°C เป็นเวลา 18 h เพื่อหาค่าความชื้นสุดท้ายตามมาตรฐาน AOAC 2005 โดยหารดีจากสมการที่ 2.1



ภาพที่ 3.7 การอบปลาช่อนหลังตากแดดครบ 3 h

3.3 การวิเคราะห์ข้อมูล

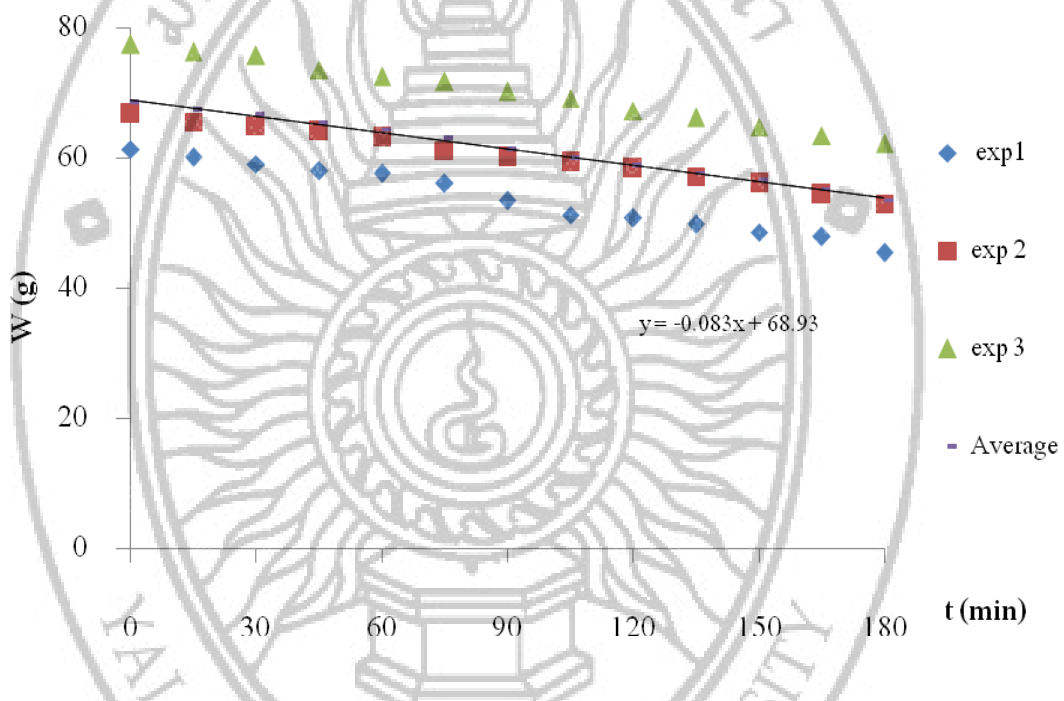
1. นำข้อมูลอุณหภูมิ เวลา น้ำหนัก และความชื้นสัมพันธ์ มาคำนวณหาค่าสัมประสิทธิ์การพาระความร้อนแบบธรรมชาติด้วยโปรแกรม open office
2. วิเคราะห์ความสัมพันธ์ระหว่างค่าสัมประสิทธิ์การพาระความร้อนแบบธรรมชาติกับปริมาณน้ำในปลาก่อน โดยให้ค่าสัมประสิทธิ์การพาระความร้อนแบบธรรมชาติ เป็นแกน y และปริมาณน้ำในปลาก่อน เป็นแกน x
3. กราฟที่ได้นำมาเปรียบเทียบค่าสัมประสิทธิ์การพาระความร้อนแบบธรรมชาติของทั้ง 3 ตะแกรง



บทที่ 4

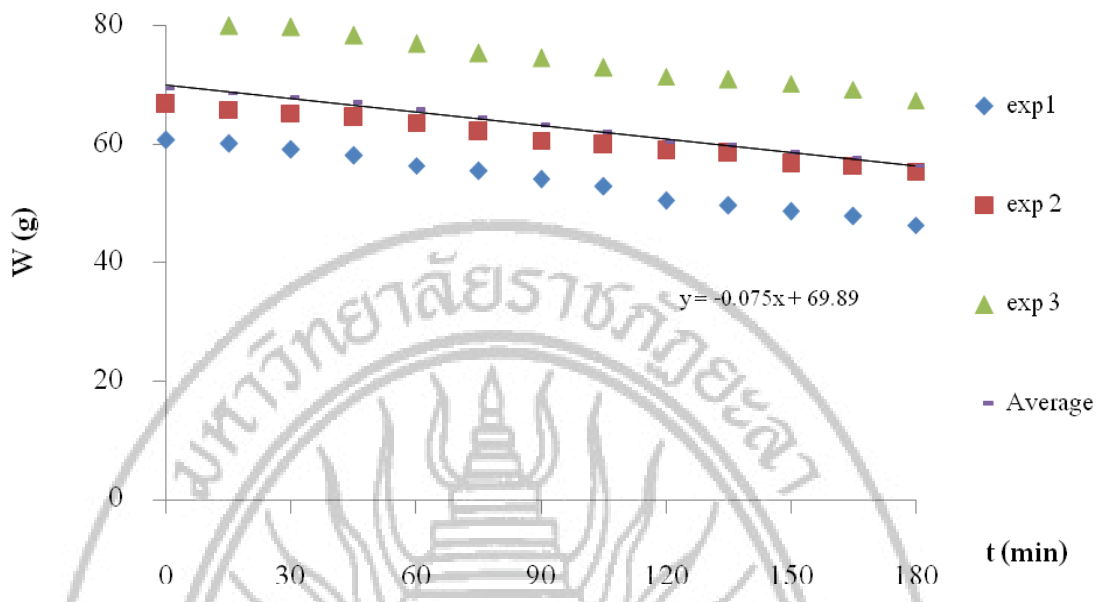
ผลการวิจัย

จากการทดลองตากแห้งปลาซ่าอนขนาดกว้าง 4.5 cm ยาว 7 cm ด้วยความร้อนจากพลังงานแสงอาทิตย์เพื่อหาค่าสัมประสิทธิ์การพาราความร้อนแบบธรรมชาติในรูปแบบการตากที่แตกต่างกันคือ การตากแห้งแบบบอิสระ ตากแห้งแบบก้นลม และตากแห้งแบบเป่าลมที่ความเร็วลม 2.7 , 3.0 และ 3.5 m/s ตามลำดับ ได้ผลการทดลองดังแสดงในภาพที่ 4.1 - 4.3



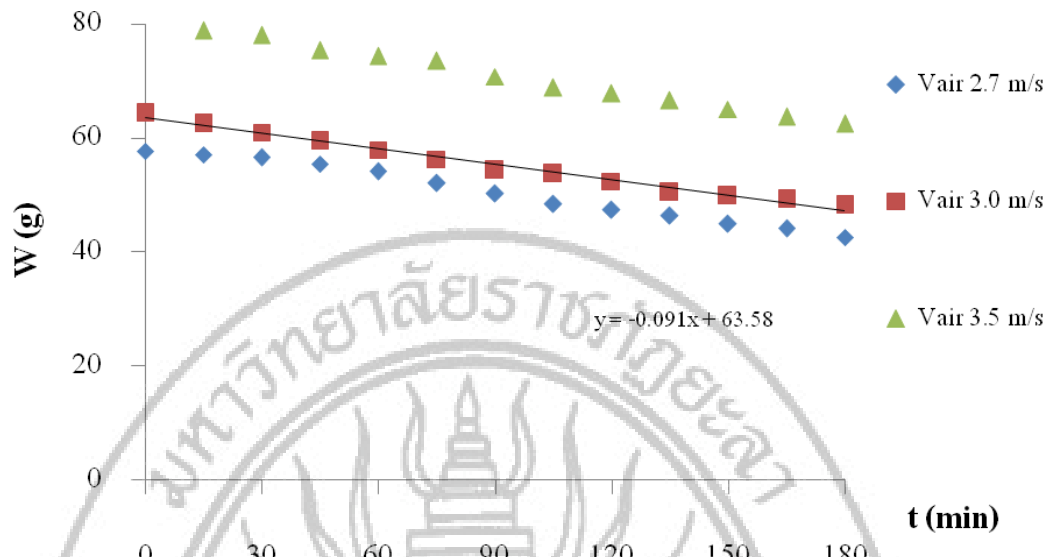
ภาพที่ 4.1 การเปลี่ยนแปลงปริมาณน้ำในปลาซ่าโดยการตากแห้งแบบธรรมชาติ (ตากแห้งแบบบอิสระ)

จากภาพที่ 4.1 พนวจ ทำการตากแห้งปลาซ่าอนด้วยพลังงานแสงอาทิตย์โดยการตากแห้งแบบบอิสระ มีการเปลี่ยนแปลงปริมาณน้ำในปลาซ่าอนลดลงเรื่อยๆ ทุกๆ 15 min ในช่วงเวลาการทำแห้ง 180 min เห็นได้จากผลการทดลองครั้งที่ 1, 2 และ 3 ซึ่งมีอัตราการอบแห้งคงที่และมีค่าการเปลี่ยนแปลงปริมาณน้ำที่ไม่ค่อยแตกต่างกันมากนัก เนื่องจากปริมาณน้ำในปลาซ่าอนลดลงตามเวลาที่เพิ่มขึ้น



ภาพที่ 4.2 การเปลี่ยนแปลงปริมาณน้ำในปลาซ่อนด้วยพลังงานแสงอาทิตย์โดยการตากแห้งแบบกันลม (กันลม)

จากภาพที่ 4.2 พนว่า การตากแห้งปลาซ่อนด้วยพลังงานแสงอาทิตย์โดยการตากแห้งแบบกันลม มีการเปลี่ยนแปลงปริมาณน้ำในปลาซ่อนลดลงเรื่อยๆ ทุกๆ 15 min ในช่วงเวลาการทำแห้ง 180 min เท่านั้นได้จากการทดลองครั้งที่ 1, 2 และ 3 ซึ่งมีอัตราการอบแห้งคงที่และมีค่าการเปลี่ยนแปลงปริมาณน้ำที่ไม่ค่อยแตกต่างกันมากนัก เนื่องจากปริมาณน้ำในปลาซ่อนลดลงตามเวลาที่เพิ่มขึ้น



ภาพที่ 4.3 การเปลี่ยนแปลงปริมาณน้ำในปลาซ่อนโดยการตากแห้งแบบธรรมชาติ (ตากแห้งแบบ
เป่าลมที่ความเร็วลม 3.5 , 3.0 และ 2.7 m/s ตามลำดับ)

จากภาพที่ 4.3 พบร่วมกันว่า การตากแห้งปลาซ่อนด้วยพลังงานแสงอาทิตย์โดยการตากแห้งแบบ
เป่าลมที่ความเร็วลม 2.7 , 3.0 และ 3.5 m/s ตามลำดับ มีการเปลี่ยนแปลงปริมาณน้ำในปลาซ่อนลดลง
เรื่อยๆ ทุกๆ 15 min ในช่วงเวลาการทำแห้ง 180 min เห็นได้จากการทดลองที่มีการเพิ่มความเร็ว
ลมในแต่ละครั้ง ซึ่งจะอยู่ในช่วงของอัตราการอบแห้งคงที่ โดยที่ความเร็วลม 3.5 m/s มีค่าการ
เปลี่ยนแปลงปริมาณน้ำมากที่สุด



ภาพที่ 4.4 เปรียบเทียบค่าสัมประสิทธิ์การพาความร้อนแบบธรรมชาติของปลาช่อน

จากการทดลองหาค่าสัมประสิทธิ์และเปรียบเทียบความแตกต่างค่าสัมประสิทธิ์ของปลาช่อนในรูปแบบการตากที่แตกต่างกัน ตั้งแต่วันที่ 27 กรกฎาคม 2554 ถึงวันที่ 29 กรกฎาคม 2554 พบว่า การตากแห้งแบบเป้าลมโดยใช้ความเร็วลม 3.5 m/s มีค่าสัมประสิทธิ์เท่ากับ $15.81 \text{ W}/\text{m}^2 \cdot {}^\circ\text{C}$ ความเร็วลม 3.0 m/s มีค่าสัมประสิทธิ์เท่ากับ $14.84 \text{ W}/\text{m}^2 \cdot {}^\circ\text{C}$ และความเร็วลม 2.7 m/s มีค่าสัมประสิทธิ์เท่ากับ $10.07 \text{ W}/\text{m}^2 \cdot {}^\circ\text{C}$ ส่วนการตากแห้งแบบอิสระมีค่าสัมประสิทธิ์เท่ากับ $10.73 \text{ W}/\text{m}^2 \cdot {}^\circ\text{C}$ การตากแห้งแบบกันลมมีค่าสัมประสิทธิ์เท่ากับ $8.74 \text{ W}/\text{m}^2 \cdot {}^\circ\text{C}$ ทั้งนี้เนื่องจากปัจจัยหลายประการที่ทำให้เกิดการเปลี่ยนแปลงอย่างเห็นได้ชัด เช่น ปริมาณน้ำในปลาช่อนแต่ละชิ้นที่มีน้ำหนักต่างกันทำให้ปริมาณน้ำในปลาไม่เท่ากัน แสงแดดและความชื้นสัมพัทธ์ในแต่ละวันที่ให้ค่าแตกต่างกันตามสภาพภูมิอากาศทำให้อุณหภูมิที่วัดได้ในแต่ละวันไม่เท่ากัน และความเร็วลมที่กำหนดค่าการทดลองในแต่ละครั้งแตกต่างกัน ซึ่งสอดคล้องกับการทดลองตากแห้งปลา chelwa ด้วยพลังงานแสงอาทิตย์ของ Dilip Jaina, (2006) และการทำแห้งส้มแบบของ อีลีห์ชี และ มารูดิง, (2552)

บทที่ 5

สรุป อภิปรายผล และข้อเสนอแนะ

5.1 สรุปผลการทดลอง

จากการตากแห่งปลาช่อนคัวยพลังงานแสงอาทิตย์พบว่า การตากแห่งแบบอิสระมีค่าสัมประสิทธิ์การพาความร้อนแบบธรรมชาติเท่ากับ $10.73 \text{ W/m}^2 - {}^\circ\text{C}$ แบบกันลมมีค่าสัมประสิทธิ์เท่ากับ $8.74 \text{ W/m}^2 - {}^\circ\text{C}$ ส่วนการตากแห่งแบบเป่าลมที่มีการกำหนดความเร็วลม 3 ค่า คือ 2.7, 3.0 และ 3.5 m/s มีค่าสัมประสิทธิ์เท่ากับ 10.07, 14.84 และ $15.81 \text{ W/m}^2 - {}^\circ\text{C}$ ตามลำดับ ซึ่งเมื่อเทียบค่าสัมประสิทธิ์ทั้งหมดจะเห็นได้ว่า แบบเป่าลมที่ความเร็วลม 3.5 m/s มีค่าสัมประสิทธิ์การพาความร้อนแบบธรรมชาติดมากที่สุด

5.2 อภิปรายผล

การวิจัยครั้งนี้มีวัตถุประสงค์เพื่อศึกษาและเปรียบเทียบค่าสัมประสิทธิ์การพาความร้อนแบบธรรมชาติของการลดความชื้นปลาช่อนในรูปแบบการตากที่แตกต่างกัน จากการศึกษาค้นคว้าสามารถอภิปรายผลได้ดังนี้

การตากแห่งปลาช่อนแบบอิสระมีค่าสัมประสิทธิ์สูงกว่าแบบกันลม เนื่องจากแบบอิสระเป็นการตากแห่งโดยท่าไปที่ไม่มีปัจจัยอื่นมาควบคุม สำหรับแบบกันลมเป็นการตากแห่งที่มีการกันลมทั้ง 4 ด้าน ทำให้ปริมาณน้ำในปลาช่อนแบบกันลมมีการระเหยได้น้อยกว่าค่าอื่น ส่วนแบบเป่าลมมีค่าสัมประสิทธิ์สูงที่สุด โดยเฉพาะความเร็วลม 3.5 m/s มีค่าสัมประสิทธิ์สูงกว่าความเร็วลม 3.0 และ 2.7 m/s ตามลำดับ เนื่องจากใช้ความเร็วลมที่มากกว่าทำให้การระเหยของน้ำออกจากปลาได้ดีกว่า เป็นการชี้ให้เห็นถึงกลไกการถ่ายโอนความร้อนในการทำแห้งของความร้อนแห้งที่เป็นตัวพาน้ำออกไปจากวัสดุ ซึ่งเมื่อเทียบการตากแห่งทั้ง 3 รูปแบบ จะเห็นได้ว่าลมเป็นปัจจัยสำคัญในการทดลองครั้งนี้ ที่ทำให้ได้ค่าสัมประสิทธิ์การพาความร้อนแบบธรรมชาติของปลาช่อนมีค่าที่แตกต่างกัน ซึ่งสอดคล้องกับการทดลองทางสมการชั้นบางของปานิลอบแห้งด้วยลมร้อนของ จำไพรศักดิ์ และประทีป, (2554) และการอบแห้งลำไยชนิดแกะเปลือกด้วยเครื่องลดความชื้นแบบสลับทิศทางอากาศร้อนของ มนัสวี และคณะ, (2545)

5.3 ข้อเสนอแนะ

ในการหาค่าสัมประสิทธิ์และเบรย์บเทียบความแตกต่างของรูปแบบการตากแห้งปลาช่อนในครั้งนี้มีเพียง 3 รูปแบบ คือ แบบอิสระ แบบกันลม และแบบเป้าลม หากมีผู้ที่สนใจจะนำการศึกษานี้ไปศึกษาต่อผู้ศึกษาควรเปลี่ยนแปลงรูปแบบการตากแห้งที่หลากหลาย หรือศึกษาแนวทางอื่นเพื่อหารูปแบบใหม่ที่สามารถนำไปใช้ได้จริง เช่น การตากในห้องเย็น หรือการตากในร่ม ซึ่งจะช่วยลดผลกระทบจากภัยธรรมชาติ เช่น อุณหภูมิ ความชื้น แสงแดด ฯลฯ ที่อาจ影晌ต่อคุณภาพของปลาช่อน





YALA RAJABHAT UNIVERSITY

ภาควิชานวัตกรรม

อุปกรณ์ที่ใช้ในการทดลอง

มหาวิทยาลัยราชภัฏยะลา



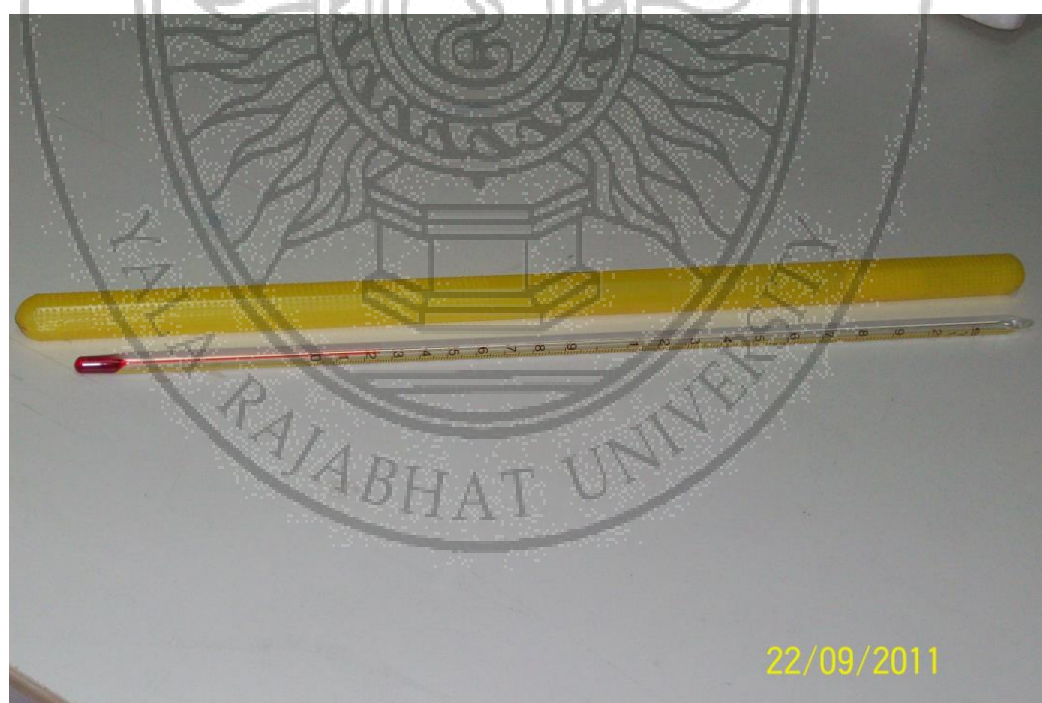
ภาพที่ ก-1 เครื่อง Flash Link Data Logger รุ่น Delta TRAK ความละเอียด $\pm 0.1^{\circ}\text{C}$



ภาพที่ ก-2 เครื่องชั่งแบบดิจิตอล Mettler Toledo รุ่น BP 1502 ความละเอียด $\pm 0.01\text{ g}$



ภาพที่ ก-3 ตะแกรงหลักกว้าง × ยาวเท่ากัน $28 \times 28 \text{ cm}^2$



ภาพที่ ก-4 เทอร์โมมิเตอร์ ความละเอียด $\pm 0.01^\circ\text{C}$



ภาพที่ ก-5 เครื่องวัดความเร็วลม



ภาพที่ ก-6 พัดลม ยี่ห้อ GEO



ภาพที่ ก-7 เวอร์เนียร์ ความละเอียด $\pm 0.02\text{ cm}$



ภาพที่ ก-8 ตู้อบ (Oven) ยี่ห้อ Memmer รุ่น Basic



ภาคพนวก ๖

วิธีการคำนวณหาค่าสัมประสิทธิ์การพากความร้อนแบบธรรมชาติ

การคำนวณค่าสัมประสิทธิ์การพากความร้อนแบบธรรมชาติของปลาซ่อน

ΔT	Ti	Cv	Kv	ρ_v	μ_v	β	Pr	Gr	Gr*Pr	P(T)	L	Z	mev/Z	ln(Gr*Pr)	ln(mev/Z)	h_c
(°C)	(°C)	J/kg°C	J/m²°C	kg/m³	kg/m	1/°C				N/m²	J/kg					
0.5	25.8	1002.96440	0.02614405	1.18246905	1.837E-05	0.03883495	0.70471510	6022.978	4244.48	3318.37620	2432840.47	0	8.35337547		10.56709132	
1.0	28.5	1003.37476	0.02633031	1.17168904	1.8497E-05	0.03508772	0.70485784	10539.793	7429.06	3882.07138	2426413.13	9.3177E-05	13.9519524	8.91315407	2.63561945	12.22884417
0.5	28.8	1003.41215	0.02634724	1.17071878	1.8508E-05	0.03478261	0.70487097	5208.916	3671.61	3937.28015	2425829.57	0.00020099	11.4431101	8.20838649	2.43738781	10.27276134
0.5	29.8	1003.56182	0.02641497	1.16685375	1.8554E-05	0.03361345	0.70492373	4975.772	3507.54	4165.10816	2423496.63	0.00035772	9.5046558	8.16267007	2.25178176	10.18295297
2.0	31.0	1003.74919	0.02649963	1.16205819	1.8612E-05	0.03225806	0.70499025	18826.490	13272.49	4466.19661	2420583.47	0.00054974	6.7304150	9.49344889	1.90663681	14.21438139
1.0	31.5	1003.82423	0.0265335	1.16015099	1.8635E-05	0.03174603	0.70501703	9210.568	6493.61	4591.90412	2419419.18	0.00070776	7.4883720	8.77857349	2.01335141	11.91833346
1.0	34.5	1004.27557	0.02673669	1.14883797	1.8774E-05	0.02898551	0.70517976	8125.127	5729.68	5413.76985	2412445.57	0.00109486	7.2155528	8.65341417	1.97623881	11.64222109
1.0	35.5	1004.42643	0.02680442	1.14511583	1.882E-05	0.02816901	0.70523479	7806.697	5505.55	5715.13569	2410125.90	0.00137366	7.3526334	8.61351279	1.99505853	11.55667903
1.0	29.5	1003.52438	0.02639804	1.16781761	1.8543E-05	0.03389831	0.70491051	10064.992	7094.92	4107.08723	2424079.67	0.00082439	12.8580398	8.86713412	2.55396928	12.12104166
1.0	30.5	1003.67420	0.02646577	1.16397168	1.8589E-05	0.03278689	0.70496357	9622.967	6783.84	4343.53338	2421748.33	0.00110241	10.4317273	8.82229872	2.34485187	12.01764359
1.0	31.5	1003.82423	0.0265335	1.16015099	1.8635E-05	0.03174603	0.70501703	9210.568	6493.61	4591.90412	2419419.18	0.00143873	8.8967146	8.77857349	2.18568206	11.91833346
1.0	35.5	1004.42643	0.02680442	1.14511583	1.882E-05	0.02816901	0.70523479	7806.697	5505.55	5715.13569	2410125.90	0.00225526	5.9860098	8.61351279	1.78942504	11.55667903
1.0	34.5	1004.27557	0.02673669	1.14883797	1.8774E-05	0.02898551	0.70517976	8125.127	5729.68	5413.76985	2412445.57	0.00232242	6.8462940	8.65341417	1.92370748	11.64222109
1.0	31.3	1003.79334	0.02651917	1.16106059	0.00001863	0.03223562	0.70500732	8888.207	6266.28	4589.32865	2419920.97	0.00094778	9.6640509	8.6854976	2.2349884	11.679937
												m	0.248229988			

คำดับการคำนวณหาค่าสัมประสิทธิ์การพาความร้อนแบบธรรมชาติของปลาช่อน

1. $\Delta T = T_A - T_M$
 $= 30.0 - 29.0$
 $= 1.0 {}^\circ\text{C}$
2. $T_i = \frac{T_A + T_M}{2}$
 $= \frac{30.0 + 29.0}{2}$
 $= 29.5 {}^\circ\text{C}$
3. $c_v = 999.2 + 0.1434 \times (Ti) + 1.101 \times 10^{-4} \times (Ti)^2 - 6.7581 \times 10^{-8} \times (Ti)^3$
 $= 999.2 + 0.1434 \times (29.5) + 1.101 \times 10^{-4} \times (29.5)^2 - 6.7581 \times 10^{-8} \times (29.5)^3$
 $= 1003.52438 \text{ J/kg}{}^\circ\text{C}$
4. $K_v = 0.0244 + 0.6773 \times 10^{-4} \times (Ti)$
 $= 0.0244 + 0.6773 \times 10^{-4} \times (29.5)$
 $= 0.02639804 \text{ J/m}^2{}^\circ\text{C}$
5. $P_v = 353.44 \div (Ti)$
 $= 353.44 \div (29.5)$
 $= 1.16781761 \text{ kg/m}^3$
6. $\mu_v = 1.718 \times 10^{-5} + 4.62 \times 10^{-8} \times (Ti)$
 $= 1.718 \times 10^{-5} + 4.62 \times 10^{-8} \times (29.5)$
 $= 1.8543E-05 \text{ kg/m}$
7. $\beta = 1 \div (Ti)$
 $= 1 \div (29.5)$
 $= 0.03389831 \text{ } 1/{}^\circ\text{C}$

$$\begin{aligned}
8. \text{ Pr} &= \mu v \times c_v \div K_v \\
&= 1.8543E-05 \times 1003.52438 \div 0.02639804 \\
&= 0.70491051 \\
9. \text{ Gr} &= \beta \times 9.81 \times (0.0196875)^3 \times P_v^2 \times (\Delta T) \div \mu v^2 \\
&= 0.03389831 \times 9.81 \times (0.0196875)^3 \times 1.16781761^2 \times (1.0) \div 1.8543E-05^2 \\
&= 10064.992 \\
10. \text{ Gr} \times \text{Pr} &= \text{Pr} \times \text{Gr} \\
&= 0.70491051 \times 10064.992 \\
&= 7094.92 \\
11. \text{ P(T)} &= \exp(25.317 - 5144 \div (T_i + 273.15)) \\
&= \exp(25.317 - 5144 \div (29.5 + 273.15)) \\
&= 4107.08723 \text{ N/m}^2 \\
12. \text{ L} &= 2.4935 \times 10^6 \times (1 - (9.4779 \times 10^{-4} \times (T_i) + 1.3132 \times 10^{-7} \times (T_i) - 4.7974 \times 10^{-9} \times (T_i)^3)) \\
&= 2.4935 \times 10^6 \times (1 - (9.4779 \times 10^{-4} \times (29.5) + 1.3132 \times 10^{-7} \times (29.5) - 4.7974 \times 10^{-9} \times (29.5)^3)) \\
&= 2424079.67 \text{ J/kg} \\
13. \text{ Z} &= 0.016 \times (K_v \div (0.0196875 \times L)) \times (P(T) - (R_H \div 100) \times P(T)) \times (t \times 60) \times 0.0063 \\
&= 0.016 \times (0.02639804 \div (0.0196875 \times 2424079.67)) \times (4107.08723 - (50 \div 100) \times 4107.08723) \times (120 \times 60) \times 0.0063 \\
&= 0.00082439 \\
14. \text{ mev/Z} &= M_{ev} \times 10^{-3} \div Z \\
&= 10.60 \times 10^{-3} \div 0.00082439 \\
&= 12.8580398
\end{aligned}$$

$$\begin{aligned}15. h_c &= \frac{k}{x} \cdot N(Ra)^n \\&= (0.02639804 \div 0.0196875) \times 1.00054881778155 \times 7094.92^{0.248229988} \\&= 12.12 \text{ W/m}^2 - {}^\circ\text{C}\end{aligned}$$





ข้อมูลการทดลองการตากแห้งปลาช่อนด้วยพลังงานความร้อนจากแสงอาทิตย์

ตารางที่ ค -1 ผลการตากแห้งปลาช่อนโดยอาศัยพลังงานแสงอาทิตย์ของตะแกรงอิสระ

วันพุธ ที่ 27 เดือนกรกฎาคม พ.ศ. 2554

t (min)	T_A (°C)	T_M (°C)	RH (%)	Weight (g)	M_{ev} (g)	h_c W/m² - °C
0	26.0	25.5	67.0	61.40	0	10.57
15	29.0	28.0	52.0	60.10	1.30	12.23
30	29.0	28.5	49.0	59.10	2.30	10.27
45	30.0	29.5	43.0	58.00	3.40	10.18
60	32.0	30.0	39.0	57.70	3.70	14.21
75	32.0	31.0	39.0	56.10	5.30	11.92
90	35.0	34.0	34.0	53.50	7.90	11.64
105	36.0	35.0	33.0	51.30	10.10	11.56
120	30.0	29.0	50.0	50.80	10.60	12.12
135	31.0	30.0	44.0	49.90	11.50	12.02
150	32.0	31.0	38.0	48.60	12.80	11.92
165	36.0	35.0	30.0	47.90	13.50	11.56
180	35.0	34.0	30.0	45.50	15.90	11.64

ตารางที่ ค -2 ผลการตากแห้งปลาช่อนโดยอาศัยพลังงานแสงอาทิตย์ของตะแกรงอิสระ

วันพุธที่ 28 เดือนกรกฎาคม พ.ศ. 2554

t (min)	T _A (°C)	T _M (°C)	RH (%)	Weight (g)	M _{ev} (g)	h _c W/m ² - °C
0	27.0	25.0	52.0	66.80	0	8.91
15	30.0	26.0	48.0	65.60	1.20	10.07
30	30.0	28.0	45.0	65.00	1.80	8.74
45	32.0	29.0	35.0	64.20	2.60	9.37
60	35.0	31.0	27.0	63.20	3.60	9.77
75	33.0	32.0	33.0	61.20	5.60	7.47
90	35.0	32.0	28.0	60.10	6.70	9.21
105	34.0	32.0	25.0	59.40	7.40	8.53
120	34.0	31.0	27.0	58.40	8.40	9.26
135	34.0	32.0	27.0	57.20	9.60	8.53
150	36.0	32.0	21.0	56.20	10.60	9.71
165	34.0	32.0	34.0	54.40	12.40	8.53
180	32.0	31.0	45.0	53.00	13.80	7.51

ตารางที่ ค -3 ผลการตากแห้งปลาช่อนโดยอาศัยพลังงานแสงอาทิตย์ของตะแกรงอิสระ

วันศุกร์ ที่ 29 เดือนกรกฎาคม พ.ศ. 2554

t (min)	T _A (°C)	T _M (°C)	RH (%)	Weight (g)	M _{ev} (g)	h _c W/m ² - °C
0	29.0	27.0	64.0	77.50	0	11.57
15	29.0	27.0	49.0	76.40	1.10	11.57
30	29.0	27.0	48.0	75.80	1.70	11.57
45	30.0	28.0	42.0	73.60	3.90	11.48
60	31.0	29.0	41.0	72.50	5.00	11.39
75	33.0	28.0	35.0	71.80	5.70	13.94
90	33.0	29.0	34.0	70.20	7.30	13.21
105	31.0	30.0	34.0	69.20	8.30	9.72
120	32.0	30.0	36.0	67.30	10.20	11.31
135	32.0	31.0	28.0	66.30	11.20	9.65
150	32.0	30.0	32.0	64.80	12.70	11.31
165	34.0	30.0	38.0	63.50	14.00	13.11
180	35.0	33.0	21.0	62.20	15.30	11.06

ตารางที่ ค -4 ผลการตากแห้งปลาช่อนโดยอาศัยพลังงานแสงอาทิตย์ของตะแกรงกันลม

วันพุธ ที่ 27 เดือนกรกฎาคม พ.ศ. 2554

t (min)	T_A (°C)	T_M (°C)	RH (%)	Weight (g)	M_{ev} (g)	h_c W/m² - °C
0	29.0	26.0	67.0	60.70	0	10.01
15	31.0	27.0	52.0	60.10	0.60	10.50
30	31.0	29.0	49.0	59.10	1.60	9.08
45	33.0	29.0	43.0	58.10	2.60	10.36
60	33.0	31.0	39.0	56.40	4.30	8.97
75	35.0	31.0	39.0	55.50	5.20	10.24
90	37.0	34.0	34.0	54.10	6.60	9.53
105	36.0	34.0	33.0	52.90	7.80	8.81
120	30.0	29.0	50.0	50.40	10.30	7.93
135	31.0	30.0	44.0	49.70	11.00	7.88
150	34.0	31.0	38.0	48.60	12.10	9.70
165	38.0	35.0	30.0	47.80	12.90	9.48
180	40.0	35.0	30.0	46.30	14.40	10.45

ตารางที่ ค -5 ผลการตากแห้งปลาช่อนโดยอาศัยพลังงานแสงอาทิตย์ของตะแกรงกันลม

วันพุธสบดี ที่ 28 เดือนกรกฎาคม พ.ศ. 2554

t (min)	T_A (°C)	T_M (°C)	RH (%)	Weight (g)	M_{ev} (g)	h_c W/m² - °C
0	28.0	26.0	52.0	66.70	0	7.03
15	29.0	27.0	48.0	65.80	0.90	6.99
30	31.0	28.0	45.0	65.20	1.50	7.43
45	33.0	29.0	35.0	64.50	2.20	7.75
60	35.0	32.0	27.0	63.60	3.10	7.29
75	35.0	32.0	33.0	62.10	4.60	7.29
90	36.0	31.0	28.0	60.60	6.10	7.96
105	35.0	32.0	25.0	59.90	6.80	7.29
120	34.0	32.0	27.0	58.90	7.80	6.81
135	35.0	32.0	27.0	58.50	8.20	7.29
150	38.0	34.0	21.0	56.70	10.00	7.57
165	35.0	31.0	34.0	56.40	10.30	7.67
180	34.0	31.0	45.0	55.40	11.30	7.32

ตารางที่ ค -6 ผลการตากแห้งปลาช่อนโดยอาศัยพลังงานแสงอาทิตย์ของตะแกรงกันลม

วันศุกร์ ที่ 29 เดือนกรกฎาคม พ.ศ. 2554

t (min)	T _A (°C)	T _M (°C)	RH (%)	Weight (g)	M _{ev} (g)	h _c W/m ² - °C
0	29.0	27.0	64.0	80.90	0	8.92
15	30.0	27.0	49.0	79.90	1.00	9.63
30	30.0	27.0	48.0	79.70	1.20	9.63
45	31.0	28.0	42.0	78.30	2.60	9.57
60	33.0	30.0	41.0	77.00	3.90	9.45
75	32.0	30.0	35.0	75.30	5.60	8.75
90	33.0	30.0	34.0	74.50	6.40	9.45
105	33.0	30.0	34.0	72.90	8.00	9.45
120	34.0	30.0	36.0	71.40	9.50	9.97
135	34.0	31.0	28.0	70.90	10.00	9.39
150	33.0	31.0	32.0	70.20	10.70	8.70
165	35.0	31.0	38.0	69.20	11.70	9.91
180	36.0	33.0	21.0	67.40	13.50	9.29

ตารางที่ ค -7 ผลการตากแห้งปลาช่อนโดยอาศัยพลังงานแสงอาทิตย์ของตะแกรงเป้าลม

วันพุธ ที่ 27 เดือนกรกฎาคม พ.ศ. 2554

t (min)	T_A (°C)	T_M (°C)	RH (%)	Weight (g)	M_{ev} (g)	h_c W/m² - °C
0	29.0	26.0	67.0	57.70	0	10.47
15	30.0	27.0	52.0	57.10	0.60	10.40
30	30.0	27.0	49.0	56.60	1.10	10.40
45	31.0	28.0	43.0	55.50	2.20	10.33
60	31.0	29.0	39.0	54.20	3.50	9.47
75	34.0	29.0	39.0	52.10	5.60	11.32
90	35.0	32.0	34.0	50.30	7.40	10.07
105	34.0	32.0	33.0	48.40	9.30	9.30
120	30.0	27.0	50.0	47.40	10.30	10.40
135	32.0	30.0	44.0	46.40	11.30	9.41
150	33.0	31.0	38.0	45.00	12.70	9.35
165	36.0	33.0	30.0	44.20	13.50	10.01
180	37.0	34.0	30.0	42.60	15.10	9.96

ตารางที่ ค -8 ผลการตากแห้งปลาช่อนโดยอาศัยพลังงานแสงอาทิตย์ของตะแกรงเป้าลม

วันพุธสบศ. ที่ 28 เดือนกรกฎาคม พ.ศ. 2554

t (min)	T _A (°C)	T _M (°C)	RH (%)	Weight (g)	M _{ev} (g)	h _c W/m ² - °C
0	28.0	25.0	52.0	64.40	0	16.52
15	28.0	25.0	48.0	62.50	1.90	16.52
30	28.0	26.0	45.0	61.00	3.40	14.86
45	30.0	27.0	35.0	59.50	4.90	16.21
60	32.0	29.0	27.0	57.90	6.50	15.93
75	32.0	30.0	33.0	56.30	8.10	14.34
90	32.0	30.0	28.0	54.40	10.00	14.34
105	33.0	29.0	25.0	53.70	10.70	17.04
120	33.0	29.0	27.0	52.40	12.00	17.04
135	32.0	31.0	27.0	50.50	13.90	12.01
150	34.0	33.0	21.0	49.80	14.60	11.82
165	33.0	31.0	34.0	49.20	15.20	14.22
180	32.0	31.0	45.0	48.20	16.20	12.01

ตารางที่ ค -9 ผลการตากแห้งปลาช่อนโดยอาศัยพลังงานแสงอาทิตย์ของตะแกรงเป้าลม

วันศุกร์ ที่ 29 เดือนกรกฎาคม พ.ศ. 2554

t (min)	T _A (°C)	T _M (°C)	RH (%)	Weight (g)	M _{ev} (g)	h _c W/m ² - °C
0	28.0	26.0	64.0	80.50	0	16.25
15	29.0	26.0	49.0	78.80	1.70	17.96
30	29.0	27.0	48.0	78.00	2.50	16.09
45	29.0	27.0	42.0	75.40	5.10	16.09
60	31.0	29.0	41.0	74.30	6.20	15.79
75	31.0	28.0	35.0	73.50	7.00	17.62
90	31.0	29.0	34.0	70.80	9.70	15.79
105	30.0	28.0	34.0	68.80	11.70	15.94
120	32.0	29.0	36.0	67.80	12.70	17.46
135	31.0	30.0	28.0	66.60	13.90	13.14
150	32.0	29.0	32.0	65.10	15.40	17.46
165	32.0	31.0	38.0	63.80	16.70	13.03
180	33.0	32.0	21.0	62.50	18.00	12.92

ตารางที่ ค-10 ผลการหาความชื้นมาตรฐานแห้ง (% d.b.) ของปลาช่อนก่อนทดลอง

วันพุธ ที่ 27 เดือนกรกฎาคม พ.ศ. 2554

ถัวที่	น้ำหนักปลาช่อน (g)		ค่าความชื้นมาตรฐานแห้ง (% d.b.)	ค่าเฉลี่ย (% d.b.)
	ก่อนอบ	หลังอบ		
1	33.3	6.9	382.61	396.1
2	37.2	7.3	409.59	

นริมาณความชื้นในปลาช่อนหลังตากแห้ง โดยอาศัยพลังงานแสงอาทิตย์

ตะแกรง	ถัวที่	น้ำหนักปลาช่อน (g)		ค่าความชื้นมาตรฐานเปรียบ (% d.b.)	ค่าเฉลี่ย (% d.b.)
		ก่อนอบ	หลังอบ		
อิสระ	1	19.3	5.1	278.43	275.84
	2	26.5	7.1	273.24	
ก้อนลม	1	17.3	4.7	280.85	300.13
	2	28.1	6.7	319.40	
เปลือก (2.7 m/s)	1	21.7	6.1	255.74	265.84
	2	20.3	5.4	275.93	

ตารางที่ ค-11 ผลการหาความชื้นมาตรฐานแห้ง (% d.b.) ของปลาช่อนก่อนทดสอบ
วันพุธที่ 28 เดือนกรกฎาคม พ.ศ. 2554

ถ่วงที่	น้ำหนักปลาช่อน (g)		ค่าความชื้นมาตรฐานแห้ง (% d.b.)	ค่าเฉลี่ย (% d.b.)
	ก่อนอบ	หลังอบ		
1	37.4	8	367.50	338.34
2	40.1	9.8	309.18	

ปริมาณความชื้นในปลาช่อนหลังตากแห้ง โดยอาศัยพลังงานแสงอาทิตย์

ตะแกรง	ถ่วงที่	น้ำหนักปลาช่อน (g)		ค่าความชื้นมาตรฐานเปรียบ (% d.b.)	ค่าเฉลี่ย (% d.b.)
		ก่อนอบ	หลังอบ		
อิสระ	1	33	8	312.5	302.41
	2	20.4	5.2	292.31	
กั้นลม	1	27.6	7.4	272.97	302.62
	2	26.8	6.2	332.26	
เย็บลม (3.0 m/s)	1	25.3	6.8	272.06	289.74
	2	22	5.4	307.41	

ตารางที่ ค-12 ผลการหาความชื้นมาตรฐานแห้ง (% d.b.) ของปลาช่อนก่อนทดสอบ

วันศุกร์ ที่ 29 เดือนกรกฎาคม พ.ศ. 2554

ถัวยที่	น้ำหนักปลาช่อน (g)		ค่าความชื้นมาตรฐานแห้ง (% d.b.)	ค่าเฉลี่ย (% d.b.)
	ก่อนอบ	หลังอบ		
1	32	8.5	276.47	363.77
2	25.9	4.7	451.06	

ปริมาณความชื้นในปลาช่อนหลังตากแห้ง โดยอาศัยพลังงานแสงอาทิตย์

ตะแกรง	ถัวยที่	น้ำหนักปลาช่อน (g)		ค่าความชื้นมาตรฐานเปรียบ (% d.b.)	ค่าเฉลี่ย (% d.b.)
		ก่อนอบ	หลังอบ		
อิสระ	1	24.1	5.9	308.47	331.68
	2	37.3	8.2	354.88	
กั้นลม	1	29.4	6.6	345.45	244.41
	2	36.8	8.3	343.37	
เย็บลม (3.5 m/s)	1	28.3	7.1	298.59	304.24
	2	33.2	8.1	309.88	

บรรณานุกรม

กิตติศักดิ์ วิชินันทกิตติ์ วัทัญญู รอดประพัฒน์ และนเรศ นาไใต้. (2553). การอบแห้งปลาสดด้วยไอน้ำร้อนขวดยิ่ง. *วารสารวิทยาศาสตร์เกษตร*, 41 (1), 524-527.

ชาลิต วิทยานนท์. (2544). “ปลาช่อน.” [ออนไลน์] แหล่งที่มา www.th.wikipedia.org/wiki.com (10 มิถุนายน 2554)

ชาญชัย ลิมปียกร และบุวนันท์ สันติทวีฤกษ์. (2544). พลังงานความร้อนและพลังงานไฟฟ้าจากพลังงานแสงอาทิตย์. กรุงเทพฯ: โครงการวิทยาศาสตร์และเทคโนโลยีเพื่อชนบทและการพัฒนาที่ยั่งยืน.

ณรงค์ อึ้งกิมบัววน สมชาติ โสภณรณฤทธิ์ และสมเกียรติ ปรัชญาวรารการ. (2545). การอบแห้งปลาร้าด้วยไอน้ำร้อนขวดยิ่งและอากาศร้อน. *วารสารวิทยาศาสตร์เกษตร*, 33 (6), 396-398.

เทพรัตน์ อึ้งเครยฐพันธ์. (2553). “ผลวิจัยคนไทยนิยมบริโภคปลาอนาคตตลาดสดใส.” [ออนไลน์] แหล่งที่มา www.somsak2805.blogspot.com (5 มิถุนายน 2554)

พัฒน์ พิชาน. (2548). *ปลาห้ามีดพื้นบ้าน*. กรุงเทพฯ : เครือญา.

พิทยา สมุทธเวช. (2552). การเพาะเลี้ยงและขยายพันธุ์ปลาห้ามีด. กรุงเทพฯ : ส่งเสริมอาชีพธุรกิจเพชรกระตุ้น.

มนฑล ลูกไส. (2544). “หลักการเบื้องต้นของการทำแห้ง.” [ออนไลน์] แหล่งที่มา www.geocities.com (10 มิถุนายน 2554)

มนัสวี ศกุลแก้ว ศุภศักดิ์ ลิมปิติ และไฟโรมัน ด้วงนคร. (2545). การอบแห้งลำไยชนิดแกะเปลือกด้วยเครื่องลดความชื้นแบบลับทิศทางอากาศร้อน. *วารสารวิทยาศาสตร์เกษตร*, 33 (6), 150-154.

ศักดิ์ชัย ชูโชค. (2536). *การเลี้ยงปลาห้ามีด*. กรุงเทพฯ: ไอเดียนล็อก.

ศรีสมร คงพันธ์. (2537). *การอนอมอาหาร*. พิมพ์ครั้งที่ 2. กรุงเทพฯ : โรงพิมพ์เจ พิล์ม โปรดเซสจำกัด.

สมยศ แม่นส่วน. “อิทธิพลของดวงอาทิตย์ต่อโลก.” [ออนไลน์] แหล่งที่มา www.wt.ac.th/somyos

(20 สิงหาคม 2554)

สุจิตร์ เกมนชัย. (2553). “การถอนอาหาร.” [ออนไลน์] แหล่งที่มา www.genufood.in.th

(5 มิถุนายน 2554)

เสกสรร วินยางค์กุล, วัชระ วัชนาวี และ ไฟโรจน์ ด้วงนคร. (2551). การหาค่าสัมประสิทธิ์การถ่ายเทความร้อนและการถ่ายมวลในกระบวนการอบแห้งใบชา. คณะเทคโนโลยีอุตสาหกรรมมหาวิทยาลัยราชภัฏเชียงราย.

อุดิหะ สนิโช และมะรุคิง กacha. (2552). การหาค่าสัมประสิทธิ์การพาความร้อนแบบธรรมชาติของการทำแห้งส้มแบก. วารสารวิจัยและพัฒนา มจธ., 32 (4), 435-443.

อำนาจศักดิ์ ทีบุญมา และประทีบ ตุ้มทอง. (2554). สมการชั้นบางของปานิลอบแห้งด้วยลมร้อน. วารสารวิทยาศาสตร์เกษตร, 42 (1), 567-570.

Anwar, S.I., & Tiwari, G.N. (2001). Evaluation of Convective Heat Tranfer Coefficient in Crop Drying under Open Sun Drying Conditions. **Energy Conversion and Mangement**, 42 (5), 627-637.

Jaina, D. (2006). Determination of Convective Heat and Mass Transfer Coefficients for Solar Drying of Fish. **Biosystems Engineering**, 94 (3), 429-435.

Mani, M., Waewsak, J., Phethuawluk, S., Buaphet, P., & Panichayunon, P. (2006). “Evaluation of Convective Heat Transfer Coefficient of Green Pepper Drying Undernatural Convection.” <http://www.energy-based.go.th> [26 August 2011].

Mani, M., Kaew-on, J., & Boonma, P. (2001). “Determinintion of Convective Heat Transfer Coefficient of Ginger Drying Undernatural Convection.” http://www.scisoc.or.th/stt/30/sec_j/paper/stt30_J0016.pdf. [26 August 2011].

Tiwari, G.N. & Rajesh, L.R. (2002). Study of heat and mass transfer in indool conditions for distillstion. **Energy Conversion and Mangement**, 43, 161-169.

ประวัติผู้วิจัย



ชื่อ : นางสาวอามีนาะ สาลีเจ^ง
รหัสประจำตัว : 405113029
วัน เดือน ปีเกิด : 10 ตุลาคม 2532
กำลังศึกษา : ระดับปริญญาตรี
โปรแกรม : วิทยาศาสตร์
คณะ : วิทยาศาสตร์เทคโนโลยีและการเกษตร
มหาวิทยาลัย : ราชภัฏยะลา
สถานที่ติดต่อ : บ้านเลขที่ 45/4 หมู่ที่ 5 ถนน กุนุงจนอง
ตำบล เมือง อําเภอ เมือง จังหวัด ยะลา
รหัสไปรษณีย์ 95110
เบอร์โทรศัพท์ : 087-9675163

ประวัติผู้วิจัย



ชื่อ : นางสาวwareom ละห์ แวดอเลาะ
รหัสประจำตัว : 405113051
วัน เดือน ปีเกิด : 08 สิงหาคม 2532
กำลังศึกษา : ระดับบัณฑิตวิทยาตร
โปรแกรม : วิทยาศาสตร์
คณะ : วิทยาศาสตร์เทคโนโลยีและการเกษตร
มหาวิทยาลัย : ราชภัฏยะลา
สถานที่ติดต่อ : บ้านเลขที่ 91 ถนน ลิโอล 6 ตำบล สะเตง
อำเภอ เมือง จังหวัด ยะลา
รหัสไปรษณีย์ 95000
เบอร์โทรศัพท์ : 087-2659377